О НЕКОТОРЫХ ОСОБЕННОСТЯХ КОМПЛЕКСООБРАЗОВАНИЯ В ПАРЕ ПРИ ВЫСОКИХ ТЕМПЕРАТУРАХ

В силу малой изученности парообразного состояния укоренилось представление о паре как о среде, бедной соединениями. Считается, что, переходя в пар при высоких температурах, слож-

ные формы разрушаются и упрощаются.

Однако исследования, главным образом последних лет, показали, что и при высоких температурах многие соединения оказываются достаточно стабильными в паре. Помимо наиболее изученных и простых парообразных соединений-бинарных (окислов, галогенидов, сульфидов, карбидов и т. д.) установлены многочисленные формы сравнительно более сложных: полимерных, смешанных (типа оксигалогенидов), комплексных. Примерами могут служить многочисленные димерные хлориды, фториды и др., тримерные соединения (например, Li₃F₃, W₃O₉ [1] и др.), пентамерные (например, Mo_5O_{15} [1], гексамерные (например, Cu₆Cl₆ [2]) и т. д. Уже привычными кажутся легколетучие смещанные соединения, многие из которых полимеризованы в паре (например, В₃О₃F₃ [3]). Несколько менее привычен переход в пар при температурах порядка 1000° и выше гидратов труднолетучих окислов (формально называемых кислотами и основаниями (см., например, [4, 5]), солей кислородных кислот (см., например, [6, 7]), комплексных соединений, таких, как двойные хлориды (например, КLnCl₄ [8]), фториды (например, NaZrF₅ [9]) и т. д.

Такое обилие устойчивых при высоких температурах парообразных соединений сложного состава наводит на мысль, что при переходе соединений в пар в ряде случаев может иметь место их

стабилизация.

Так, например, равновесие диссоциации в гетерогенной системе

 $[FeCl₃] = [FeCl₂] + \frac{1}{2}(Cl₂)$

характеризуется величинами [10]:

$$\Delta H^0 = 13.3 \ \kappa \kappa \alpha n / MOЛЬ, \ \Delta S^0 = 20.1 \ \text{э. e.,}$$

то же равновесие, но в паровой фазе

$$(FeCl_3) = (FeCl_2) + \frac{1}{2}(Cl_2),$$

 $\frac{1}{2}(Fe_2Cl_6) = \frac{1}{2}(Fe_2Cl_4) + \frac{1}{2}(Cl_2) -$

величинами [10, 11]:

$$\Delta H^0 = 25.0 \text{ ккал/моль}, \quad \Delta S^0 = 19.6 \text{ э. е.,}$$

 $\Delta H^0 = 24.8 \text{ ккал/моль}, \quad \Delta S^0 = 21.5 \text{ э. e.}$

Сравнивая значения $\frac{\Delta H^0}{\Delta S^0}$, равные 660°К в первом и 1270, 1150°К во втором и третьем случаях, видим, что при равных температурах глубина диссоциации кристаллической формы больше, чем парообразной.

В некоторых случаях такая стабилизация приводит к тому, что соединение, устойчиво существующее в паре, при конденсации распадается. Так, по данным работы [12], парообразный

RuCl₄ вполне устойчив при повышенных температурах:

$$(RuCl_4) = (RuCl_3) + \frac{1}{2}(Cl_2)$$
 $\Delta H_{298}^0 = 32,3 \ \kappa \kappa a \Lambda / MO \Lambda b, $\Delta S_{298}^0 = 33,2 \ \text{s. e.},$$

тогда как твердый RuCl₄ существует лишь ниже -30° C в «замороженном» состоянии, а выше — необратимо распадается на три-

хлорид и хлор.

Известны случаи, когда соединение в конденсированном состоянии выше пекоторой температуры полностью диссоциирует, а при более высоких температурах вновь образуется, но уже в паровой фазе. В качестве примера можно привести термическую диссоциацию вольфрамовой кислоты [13], которая в гетерогенной системе полностью закапчивается уже к 800° С:

$$[H_2WO_4] = [WO_3] + (H_2O) \Delta H^0 = 31 \kappa \kappa \alpha \Lambda / MO \Lambda b.$$

Однако при температурах значительно выше 1000° С, когда H_2WO_4 и WO_3 могут быть парообразными, прочность молекулы $WO_2(OH)_2$ почти в три раза возрастает по сравнению с твердой H_2WO_4 , как это видно из характеристики равновесия [14]:

$$(H_2WO_4) = (WO_3) + (H_2O) \Delta H^0 = 87 \kappa \kappa \alpha \Lambda / MO \Lambda b.$$

Такое соотношение могло стать возможным лишь потому, что гидратная форма H_2WO_4 оказалась более легколетучей, чем окисная WO_3 . Таким образом, вопрос о стабилизации веществ при переходе в парообразное состояние прямо связан с летучестью партнеров реакции.

Поставив вопрос о стабилизации веществ при переходе в пар, необходимо уточнить это понятие. Тот факт, что прочность связей в парообразных молекулах обычно меньше прочности

связей в кристаллах, является общеизвестным. Однако это не противоречит тезису о стабилизации веществ при переходе в пар, если под стабилизацией понимать увеличение эндотермичности процессов ступенчатой (или полной) диссоциации или диспропорционирования парообразных веществ на парообразные же продукты по сравнению с диссоциацией или диспропорционированием тех же веществ в кристаллических фазах, т. е. такого рода конкуренцию следующих равновесий:

Как видно, приведенные соотношения ничего общего не имеют с простой разностью термодинамических характеристик образования твердого и парообразного АВ из простых тел или из атомов. По сравнению с последними эти соотношения включают в себя характеристики сублимации или атомизации продуктов распада, и потому в них в большей степени проявляется нивелировка, скомпенсированность характеристик летучести ис-

ходных и конечных продуктов реакции.

Следует отметить, что в той же приведенной выше схеме даны два уравнения баланса, записанные через энтальпию и свободную энергию. Это связано с тем, что в качестве количественной меры стабилизации (или дестабилизации) мы будем использовать обе эти характеристики. Конечно, определяющим фактором, характеризующим прочность связей, будет энергия ΔH^{0} . С другой стороны, переход соединений и продуктов их распада из конденсированного состояния в пар обычно сопровождается увеличением числа газовых молекул. В этом случае в уравнении свободной энергии росту эндотермичности члена ΔH^0 будет соответствовать возрастание энтропии в слагаемом $T\Delta S^{\circ}$. Это означает, что свободноэнергетический эффект стабилизации соединений при переходе их из конденсированного состояния в пар будет складываться из стабилизирующего фактора ΔH^0 и дестабилизирующего фактора ΔS^0 , а температурная граница такой стабилизации будет определяться соотношением $\Delta H^0/\Delta S^0$.

В настоящее время появилось много данных, в том числе и термодинамических, характеризующих свойства веществ в парообразном состоянии и во многих случаях позволяющих судить о

множественности форм парообразных соединений (см., например, [1, 15, 16, 17] и др.). Безусловно интересными являются и строение молекул парообразных веществ, и характер химических связей в них, и кинетика, и термодинамика, и т. д. Понимая, однако, невозможность такого широкого охвата проблемы стабилизации или дестабилизации веществ при переходе в пар в настоящее время, в данной работе мы рассматриваем лишь термодинамические особенности этого явления. Решение этой задачи осуществляется с позиций взаимосвязи процессов сублимации (испарения), полимеризации, комплексообразования, а также диссоциации и диспропорционирования по ступеням окисления и замещения. В плане такой постановки задачи ниже будут рассмотрены следующие вопросы: условия стабилизации соединений (и прежде всего комплексных галогенидов металлов) при переходе в пар, связь комплексообразования в паровой фазе с диссоциацией и диспропорционированием комплексных соединений по ступеням окисления, а также с димеризацией простых парообразных форм.

Общая характеристика условий стабилизации соединений при переходе в пар

Рассмотрим подробнее вопрос о стабилизации соединений при переходе в парообразное состояние, понимая под стабилизацией увеличение эндотермичности процесса распада соединения в парах по сравнению с эндоэффектом такого же процесса, но в конденсированных фазах, например:

2 [WCl₅] = [WCl₄] + [WCl₆]
$$\Delta H^0 = -10 \ \kappa \kappa \alpha n / mold [18],$$
 2 (WCl₅) = (WCl₄) + (WCl₆) $\Delta H^0 = +16 \ \kappa \kappa \alpha n / mold [18],$

илн

[SiC] = [Si] + [C]<sub>rpa
$$\phi$$</sub> $\Delta H_{.98}^{0}$ = + 18 ккал/моль [15], (SiC) = (Si) + (C) $\Delta H_{.298}^{0}$ = + 104 ккал/моль [15].

В последнем примере такое, почти шестикратное, увеличение ΔH^0 диссоциации при переходе в пар объясняется тем, что как SiC, так и продукты его распада — Si и C — являются труднолетучими веществами:

Следовательно, особенность изменения значений энергии сублимации в плеяде Si—SiC—С явилась причиной стабилизации SiC в паровой фазе при высоких, порядка нескольких тысяч градусов, температурах.

Второй стороной рассматриваемого вопроса является вопрос об энтропии, поскольку температурный регулятор глубины протекания любого процесса — изменение энтропии — тесно связан с числом газообразных молекул: каждой грамм-молекуле вещества в парообразном состоянии соответствует, как известно, примерно 30 э. е.

В рассматриваемом случае имеем:

[SiC] = [Si] + [C]
$$\Delta S^0$$
 = 1,9 s. e.,
(SiC) = (Si) + (C) ΔS^0 = 30 s. e.

Наблюдаемое 15-кратное увеличение ΔS^0 при переходе от кристаллических форм к парообразным приводит к тому, что 6-кратный выигрыш в энтальпин в значительной степени компенсируется. Так, значения свободной энергии ΔF^0 равны для этих процессов соответственно: 14 и 43 ккал/моль при 2000° K, или 12 и 13 ккал/моль при 3000° K.

Таким образом, в рассматриваемом случае резкому возрастанию эндоэффекта диссоциации парообразного SiC противостоит

аналогичное возрастание энтропии.

Летучесть соединений и продуктов их распада является определяющим фактором в конкуренции значений энергии диссоциации твердой и парообразной форм ΔH^0 или, более строго, ΔF^0 , как это видно из схемы І. Из той же схемы следует, что в этой конкуренции противостоят друг другу значения энергии сублимации сложной формы (ΔH^0_4) и продуктов ее распада ($\Delta H^0_2 + \Delta H^0_3$). Разность их дает численное значение величины ($\Delta H^0_5 - \Delta H^0_1$), характеризующей различие эндоэффектов процессов диссоциации AB в паре и кристаллических фазах:

 $(\Delta H_2^0 + \Delta H_3^0) - \Delta H_4^0 = \Delta H_5^0 - \Delta H_1^0$ (*).

1-й случай. Все три вещества труднолетучи, т. е. значения ΔH_2 , ΔH_3 и ΔH_4 достаточно большие, и по величине ΔH_4^0 занимает место где-то вблизи ΔH_2 или ΔH_3 . Тогда правая часть выражения (*) также будет большой величиной, что соответствует условию упрочнения парообразной формы:

$$\Delta H_5^0 > \Delta H_1^0$$
.

Примером может служить только что рассмотренный случай диссоциации SiC.

2-й случай. Один из продуктов диссоциации (например, В) легколетуч. Условие этого:

$$\Delta H_5^0 - \Delta H_1^0 \approx \Delta H_2^0 - \Delta H_4^0$$

Например [19]:

$$\{\text{EuCl}_3\} = \{\text{EuCl}_2\} + \frac{1}{2}(\text{Cl}_2) \quad \Delta H^0_{1200} = 11,6 \ \kappa \kappa \alpha n / mo n b, \\ (\text{EuCl}_3) = (\text{EuCl}_2) + \frac{1}{2}(\text{Cl}_2) \quad \Delta H^0_{1200} = 18,7 \ \kappa \kappa \alpha n / mo n b.$$

Такое соотношение ΔH^0 определяется характеристиками процессов испарения [19]:

$$\{\text{EuCl}_3\} = (\text{EuCl}_3) \quad \Delta H_{1200}^0 = 59,5 \ \kappa \kappa a \Lambda / MO \Lambda b, \\ \{\text{EuCl}_2\} = (\text{EuCl}_2) \quad \Delta H_{1200}^0 = 66,6 \ \kappa \kappa a \Lambda / MO \Lambda b, \\ \{\text{EuCl}_3\} = (\text{EuCl}_3) \quad \Delta H_{1200}^0 = 66,6 \ \kappa \kappa a \Lambda / MO \Lambda b, \\ \{\text{EuCl}_3\} = (\text{EuCl}_3) \quad \Delta H_{1200}^0 = 66,6 \ \kappa \kappa a \Lambda / MO \Lambda b, \\ \{\text{EuCl}_3\} = (\text{EuCl}_3) \quad \Delta H_{1200}^0 = 66,6 \ \kappa \kappa a \Lambda / MO \Lambda b, \\ \{\text{EuCl}_3\} = (\text{EuCl}_3) \quad \Delta H_{1200}^0 = 66,6 \ \kappa \kappa a \Lambda / MO \Lambda b, \\ \{\text{EuCl}_3\} = (\text{EuCl}_3) \quad \Delta H_{1200}^0 = 66,6 \ \kappa \kappa a \Lambda / MO \Lambda b, \\ \{\text{EuCl}_3\} = (\text{EuCl}_3) \quad \Delta H_{1200}^0 = 66,6 \ \kappa \kappa a \Lambda / MO \Lambda b, \\ \{\text{EuCl}_3\} = (\text{EuCl}_3) \quad \Delta H_{1200}^0 = 66,6 \ \kappa \kappa a \Lambda / MO \Lambda b, \\ \{\text{EuCl}_3\} = (\text{EuCl}_3) \quad \Delta H_{1200}^0 = 66,6 \ \kappa \kappa a \Lambda / MO \Lambda b, \\ \{\text{EuCl}_3\} = (\text{EuCl}_3) \quad \Delta H_{1200}^0 = 66,6 \ \kappa \kappa a \Lambda / MO \Lambda b, \\ \{\text{EuCl}_3\} = (\text{EuCl}_3) \quad \Delta H_{1200}^0 = 66,6 \ \kappa \kappa a \Lambda / MO \Lambda b, \\ \{\text{EuCl}_3\} = (\text{EuCl}_3) \quad \Delta H_{1200}^0 = 66,6 \ \kappa \kappa a \Lambda / MO \Lambda b, \\ \{\text{EuCl}_3\} = (\text{EuCl}_3) \quad \Delta H_{1200}^0 = 66,6 \ \kappa a \Lambda / MO \Lambda b, \\ \{\text{EuCl}_3\} = (\text{EuCl}_3) \quad \Delta H_{1200}^0 = 66,6 \ \kappa a \Lambda / MO \Lambda b, \\ \{\text{EuCl}_3\} = (\text{EuCl}_3) \quad \Delta H_{1200}^0 = 66,6 \ \kappa a \Lambda / MO \Lambda b, \\ \{\text{EuCl}_3\} = (\text{EuCl}_3) \quad \Delta H_{1200}^0 = 66,6 \ \kappa a \Lambda / MO \Lambda b, \\ \{\text{EuCl}_3\} = (\text{EuCl}_3) \quad \Delta H_{1200}^0 = 66,6 \ \kappa a \Lambda / MO \Lambda b, \\ \{\text{EuCl}_3\} = (\text{EuCl}_3) \quad \Delta H_{1200}^0 = 66,6 \ \kappa a \Lambda / MO \Lambda b, \\ \{\text{EuCl}_3\} = (\text{EuCl}_3) \quad \Delta H_{1200}^0 = 66,6 \ \kappa a \Lambda / MO \Lambda b, \\ \{\text{EuCl}_3\} = (\text{EuCl}_3) \quad \Delta H_{1200}^0 = 66,6 \ \kappa a \Lambda / MO \Lambda b, \\ \{\text{EuCl}_3\} = (\text{EuCl}_3) \quad \Delta H_{1200}^0 = 66,6 \ \kappa a \Lambda / MO \Lambda b, \\ \{\text{EuCl}_3\} = (\text{EuCl}_3) \quad \Delta H_{1200}^0 = 66,6 \ \kappa a \Lambda / MO \Lambda b, \\ \{\text{EuCl}_3\} = (\text{EuCl}_3) \quad \Delta H_{1200}^0 = 66,6 \ \kappa a \Lambda / MO \Lambda b, \\ \{\text{EuCl}_3\} = (\text{EuCl}_3) \quad \Delta H_{1200}^0 = 66,6 \ \kappa \alpha \Lambda b, \\ \{\text{EuCl}_3\} = (\text{EuCl}_3) \quad \Delta H_{1200}^0 = 66,6 \ \kappa \alpha \Lambda b, \\ \{\text{EuCl}_3\} = (\text{EuCl}_3) \quad \Delta H_{1200}^0 = 66,6 \ \kappa \alpha \Lambda b, \\ \{\text{EuCl}_3\} = (\text{EuCl}_3) \quad \Delta H_{1200}^0 = 66,6 \ \kappa \alpha \Lambda b, \\ \{\text{EuCl}_3\} = (\text{EuCl}_3) \quad \Delta H_{1200}^0 = 66,6 \ \kappa \alpha \Lambda b, \\ \{\text{EuCl}_3\} = (\text{EuCl}_3) \quad \Delta H_{1200}^0 = 66,6 \ \kappa \alpha \Lambda b, \\ \{\text{EuCl}_3\} = (\text{EuC$$

т. е. $\Delta H_5^0 > \Delta H_4^0$. Отсюда и $\Delta H_5^0 > \Delta H_1^0$, т. е. имеет место ста-

билизация при переходе в пар.

3-й случай. Исходное вещество АВ труднолетуче, а продукты диссоциации (A) и (B) легколетучи. Согласно приведенной выше схеме I, в этом случае

$$\Delta H_4^0 > (\Delta H_2^0 + \Delta H_3^0),$$

и, следовательно,

$$\Delta H_1^0 > \Delta H_5^0$$

Это означает, что при достаточно большой разнице в летучести AB и продуктов распада соединение должно стать неустойчивым в парообразном состоянии. Именно поэтому для такого случая трудно подобрать очевидные примеры. Одним из возможных примеров мог бы служить процесс диссоциации NH₄Cl:

$$[NH_4CI] = [NH_3] + [HCI] \Delta H_1^0 = 31,2 \ \kappa \kappa \alpha n / MOAb.$$

Такая запись, однако, формальна, поскольку NH_3 и HCl- легколетучие вещества ($\Delta H_{\text{субл}}^0$ равна 6,9 и 4,3 $\kappa\kappa\alpha\Lambda/\text{моль}$ соответственно) и в обычных условиях газообразны, а NH_4Cl по летучести, по-видимому, близок к KCl. Учитывая сказанное для гипотетического процесса (NH_4Cl) = (NH_3) + (HCl), можно ожидать отрицательную величину ΔH_5^0 и положительную величину ΔS_5^0 , что является указанием на неустойчивость NH_4Cl в паре.

4-й случай. Как соединение, так и продукты распада легко-

летучи, например:

$$2(NH_3) = (N_2) + 3(H_2)$$
.

Поскольку ΔH^0 сублимации всех партнеров этого равновесия мала, изменение агрегатного состояния их заметного влияния на устойчивость соединения не оказывает. Этому случаю, согласно схеме I, соответствует условие

$$\Delta H_0^0 \approx \Delta H_1^0$$

5-й случай. Соединение и один из продуктов диссоциации легколетучи, другой продукт диссоциации труднолетуч.

Примером может служить равновесие [20]

$$(TiCl_4) = [TiCl_3] + \frac{1}{2}(Cl_2)$$
 $\Delta H^0 = 10 \kappa \kappa \alpha \Lambda / MOAb.$

В силу легколетучести $TiCl_4$ и Cl_2 значение ΔH^0 этого процесса близко к характеристике равновесия [20]:

$$[TiCl_4] = [TiCl_3] + \frac{1}{2}(Cl_2)$$
 $\Delta H^0 = 20 \kappa \kappa \alpha \Lambda / MO \Lambda b$.

.3 Зак. 81

Сравнивая оба эти равновесия с диссоциацией в паре [20]: $(TiCl_4) = (TiCl_3) + \frac{1}{2}(Cl_2) \quad \Delta H^0 = 52 \ \kappa \kappa \alpha \Lambda / MOЛЬ,$

видим, что TiCl₄ при переходе в пар становится заметно стабильнее.

6-й случай. Соединение легколетуче, а оба продукта распада труднолетучи.

Этот случай не характерен, и мы рассматривать его не будем. Все приведенные выше случаи разобраны лишь с точки зрения изменения энтальпии процессов, тогда как известно, что действительной мерой глубины протекания реакций является свободная энергия, т. е. наряду с ΔH^0 необходимо учитывать изменение энтропии ΔS^0 .

Согласно схеме I, энтропийный баланс можно выразить урав-

нением

$$\Delta S_5^0 - \Delta S_1^0 = (\Delta S_2^0 + \Delta S_3^0) - \Delta S_4^0$$

Поскольку величина ΔS^0 меньше зависит от природы веществ, чем ΔH^0 и каждый моль пара вносит в этот баланс около 30 э. е., в рассматриваемой схеме можно принять, что $\Delta S_1^0 \approx 0$, а $S_2^0 \approx 30$ э. е. Отсюда

$$\Delta S_{2}^{0} + \Delta S_{3}^{0} - \Delta S_{4}^{0} \approx \text{const.}$$

Следовательно, при переходе от одних соединений к другим значения ΔH^0 процессов

[AB]=[A]+[B],(AB)=(A)+(B)

могут изменяться в широких пределах, тогда как значения ΔS^0 остаются приблизительно постоянными. Это обстоятельство и является центральным при рассмотрении вопроса о стабилизации парообразных форм с точки зрения изменения свободной энергии.

Перейдем к рассмотрению другого, не менее важного вопроса о конкуренции прочности гомо- и гетеросоединений. При этом под гомосоединениями будем понимать не только молекулы типа K_2 , Cl_2 , но и полимеры сложных форм, например K_2Cl_2 . Соответственно формы KCl и $KAlCl_4$ будем называть гетеросоединениями.

Можно предположить, что пачальной ступенью разнообразия форм соединений в паровой фазе являются продукты процессов ассоциации атомов в молекулы гомоформ, а также процессов взаимного обмена между гомосоединениями с образованием более сложных гетероформ. С этой точки зрения важным является то, что атомы различных элементов Периодической системы обладают способностью образовывать химические соединения различной термической устойчивости — гетеросоединения. Нам представляется, что во многих случаях образование таких соеди-

нений может быть коррелятивно связано с тенденцией атомов также и к образованию гомосоединений (димеров, полимеров), которые известны для большинства химически активных элементов Системы, а для остальных предполагаются (см., например, [21]).

Таким образом, все парообразные гетеросоединения можно рассматривать как продукты взаимного обмена (замещения)

молекул гомосоединений

$$2 (AB) = (A_2) + (B_2) 2\Delta F_1^0$$

или как результат конкуренции следующих равновесий:

$$(A_2) + (B_2) = 2 (A) + 2 (B)$$
 $\Delta F_2^0 + \Delta F_3^0$,
 $2 (AB) = 2 (A) + 2 (B)$ $2\Delta F_4^0$.

Откуда

$$\Delta F_1^0 = \Delta F_4^0 - \frac{\Delta F_2^0 + \Delta F_3^0}{2}.$$
 (1)

Следовательно, величину ΔF_1^0 можно рассматривать как меру конкуренции прочности гомо- и гетеросоединений в парообразном состоянии. Эта величина, как правило, положительная, поскольку гетеросоединения обычно прочнее, чем гомосоединения, т. е.

$$\Delta F_4^0 > \frac{\Delta F_2^0 + \Delta F_3^0}{2}. (2)$$

Чем больше различаются между собой правая и левая части этого неравенства, тем более не похоже гетеросоединение на исходные гомосоединения, тем, стало быть, меньше будет коррелятивная взаимосвязь гетеро- и гомосоединений. С другой стороны, чем ближе между собой по свойствам оба гомосоединения, тем меньше выигрыш в энергии при образовании гетеросоединения. Учитывая сказанное, вернемся снова к только что приведенной схеме, которая, по нашему мнению, достаточно обща и применима к различным конкретным случаям. Рассмотрим примеры:

2 (NaCl) = (Na₂) + (Cl₂)
$$\Delta H_{298}^0 = 122 \ \kappa \kappa \alpha \Lambda / MO \Lambda b \ [1],$$

2 (NaAlCl₄) = (Na₂Cl₂) + (Al₂Cl₆) $\Delta H_{1000}^0 = 26.8 \ \kappa \kappa \alpha \Lambda / MO \Lambda b \ [22],$

которые, по-видимому, следует отнести к двум крайним случаям. Первый процесс из расчета на 1 моль Cl₂ характеризуется большим эндоэффектом (122 ккал/моль); следовательно, гетеросоединение намного прочнее гомосоединений. При таком различин в прочности гетеро- и гомосоединений можно ожидать, что и различие в корреляции их свойств будет очень большим. В первом примере соотношение (2) имеет вид

$$\Delta F_4^0 > \frac{\Delta F_2^0 + \Delta F_3^0}{2} \tag{3}$$

Второй процесс имеет эндоэффект в 5 раз меньший, чем первый, поэтому разница в прочности гетеро- и гомосоединений во втором процессе относительно невелика. Следовательно, между последними можно усмотреть определенную близость свойств, т. е. в коррелятивном плане молекулу NaAlCl4 следует рассматривать в качестве продукта взаимного обмена частями молекул между Na₂Cl₂ и Al₂Cl₆. В этом случае можно ожидать, что, например, при замещении алюминия на галлий, индий или таллий свойства образующихся двойных соединений будут изменяться симбатно свойствам димерных хлоридов этих элементов. Или, замещая натрий в молекуле NaAlCl₄ на калий, рубидий или цезий, можно ожидать в изменении свойств образующихся двойных соединений симбатности с изменениями свойств димерных молекул K₂Cl₂, Rb₂Cl₂ и Cs₂Cl₂.

Исходя из сказанного, можно заключить, что чем ближе между собой по природе димеры простых форм, тем более строгим будет приближение свойств образуемого ими гетеросоединения к усредненному свойству димеров, т. е. в пределе должно

стать справедливым соотношение

$$\Delta F_4^0 = \frac{\Delta F_2^0 + \Delta F_3^0}{2}.$$

В качестве примеров, иллюстрирующих это положение, можно привести следующие:

$$\begin{array}{c} \Delta H^0, \ \kappa \kappa \alpha \lambda / \text{моль} \\ 2 \ (\text{CsNaCl}_2) = (\text{Cs}_2\text{Cl}_2) + (\text{Na}_2\text{Cl}_2) \dots & 10 \ [23] \\ 2 \ (\text{GeSi}) = (\text{Ge}_2) + (\text{Si}_2) \dots & 3 \ [24] \\ 2 \ (\text{KNaCl}_2) = (\text{K}_2\text{Cl}_2) + (\text{Na}_2\text{Cl}_2) \dots & 0 \ [15] \end{array}$$

Необходимо, однако, отметить, что такой подход к рассматриваемому вопросу возможен лишь при условии, что димеризация парообразных соединений является не случайностью, а закономерностью, не свойством отдельных соединений, а общим явлением. Различие между парообразными веществами, с этой точки зрения, лишь в величинах энергии димеризации, значения которой могут варьировать в широких пределах, как это видно из следующих примеров:

| | | Δ | ₩, кка. | п/моль |
|---------------------------|------|---|---------|--------|
| $(Si_2C_2) = 2(SiC)$ | | | 183 | |
| $(MoO_3)_2 = 2 (MoO_3)$. | | | 110 | [1] |
| (Li2F2) = 2 (LiF) | | | 60,7 | [1] |
| (Al2Cl6) = 2(AlCl3). | | | 28 | [1] |
| $(H_2Cl_2) = 2 (HCl) .$ | | | 2,1 | [25] |

В зависимости же от величины энергии и энтропии димеризации, а также от соотношения значений энергии и энтропин димеризации и сублимации димерные формы будут либо основным компонентом пара (например, Al₂Cl₆), либо концентрация их

будет ничтожно малой, труднодоступной для измерения существующим набором методов.

Весь приведенный выше материал, как нам кажется, представляет определенный интерес прежде всего для систематизации экспериментального материала, нахождения способов расчета характеристик еще не изученных равновесий и, таким образом, может оказаться полезным для формулировки некоторых практических и теоретических выводов. Имея это в виду, перейдем к более частному вопросу стабилизации двойных галогенидов при переходе в пар.

Условия стабилизации двойных (комплексных) галогенидов при переходе в пар

Рассмотрим вопрос о соотношении летучести соединений и устойчивости их в парообразном состоянии применительно к двойным галогенидам.

Сравнение устойчивости двойных хлоридов в парообразном и кристаллическом состояниях можно произвести, сопоставляя данные табл. 1 и 2.

Таблица 1

| Равновесия | ∆Н°, ккал/моль | ΔS_T° , 9. c. | Литератур- пый источник |
|--|---|---|--|
| $ (NaLiF_2) = (NaF) + (LiF) $ $ (KNaF_2) = (NaF) + (KF) $ $ (RbKF_2) = (RbF) + (KF) $ $ (CsRbF_3) = (CsF) + (RbF) $ $ (NaBeF_3) = (NaF) + (BeF_n) $ $ (LiAiF_4) = (LiF) + (AiF_3) $ $ (NaZrF_5) = (NaF) + (ZrF_4) $ $ (RbKC_1) = (RbC1) + (KC1) $ $ (CsKC_1) = (CsC1) + (KC1) $ $ (CsNaC_1) = (CsC1) + (BeC1) $ $ (NaBeC_1_3) = (NaC1) + (BeC1) $ $ (NaBeC_1_3) = (KC1) + (BeC1) $ $ (KBeC_1_3) = (KC1) + (BeC1_2) $ $ (KMgC_1_3) = (KC1) + (SrC_1_2) $ $ (KCaC_1_3) = (KC1) + (CaC_1_2) $ $ (KFeC_1_3) = (KC1) + (FeC_1_2) $ $ (CsFeC_1_3) = (CsC) + (FeC_1_2) $ $ (CsFeC_1_3) = (CsC) + (FeC_1_2) $ $ (NaAIC_1_4) = (NaC1) + (LaC_1_3) $ $ (NaErC_1_4) = (NaC1) + (LaC_1_3) $ $ (K1_aC_1_4) = (KC1) + (CeC_1_3) $ $ (K1_aC_1_4) = (KC1) + (CeC_1_3) $ $ (KPrC_1_4) = (KC1) + (CeC_1_3) $ $ (KPrC_1_4) = (KC1) + (PrC_1_3) $ $ (KNdC_1_4) = (KC1) + (CeC_1_3) $ $ (KPrC_1_4) = (KC1) + (CeC_1_4) $ | 62 56 50 45 52+5 73 61,4 (67) 43,1+3 45,7 49,5 54±5 58 63±3 67+17 34.7 24,7 50 69,8+2,5 63+8 61,4±12 61,0±4 59,3±4 59,5±3 49±3 | 21±3 37 (29) 28,2 28,2 29,0 23±2 24+2 31 30±2 32±13 — 32,8±1,8 32±5 32,6±3 32,6±3 32,6±3 32,6±3 32,6±2 28±3 | [15] [15] [15] [15] [15] [26, 27] [28] [25, 29, 30] [31] [23, 32] [26, 27] [26, 27] [33, 26] [26, 34] [26, 34] [35] [35] [35] [36] [37] [38] [17, 39] [17, 39] |

Из приведенных в табл. 2 примеров, так или иначе относящихся к первым четырем группам Системы, видно, что энергия разложения комплексных хлоридов интересующей нас формы в кристаллическом состоянии составляет величину в среднем 4—6 ккал/моль.

Таблица 2

| Равновесия | ∆Н³, ккал/моль | ΔS ⁰ , э. е. | Источник |
|--|--|-----------------------------------|--|
| $ [M'M''Cl_2] = [M'Cl] + [M''Cl] $ $ [KMgCl_2] = [KCl] + [MgCl_2] $ $ [KCaCl_3] = [KCl] + [CuCl_2] $ $ [KCuCl_3] = [KCl] + [CuCl_2] $ $ [LiAlCl_4] = [LiCl] + [AlCl_3] $ $ [NaAlCl_4] = [NaCl] + [AlCl_3] $ $ [KAlCl_4] = [KCl] + [AlCl_3] $ $ [KAlCl_4] = [KCl] + [LnCl_3] $ $ [KLnCl_4] = [KCl] + [LnCl_3] $ $ [NaThCl_5] = [NaCl] + [ThCl_4] $ $ [KThCl_5] = [KCl] + [ThCl_4] $ | 0 3,0 3 4,6 2,92 6,65 12,42 5 | 0 < 4 < 3 - < 7 < 17 < 30 7 | Наша оценка [42] Оценка по [42] [42] [42] [42] [42] [42] [8] Оценка по [42] Оценка по [42] |

Примечание. М' и М" — щелочные металлы.

Численные значения энтропии тех же процессов в подавляющем большинстве неизвестны и не поддаются сколько-нибудь надежной оценке. Поэтому в табл. 2 приводятся для всех случаев, кроме $M'M''Cl_2$ и $KLnCl_4$, значения, полученные из соотношения $\frac{\Delta H^0}{T_{nn}}$, где T_{nn} — температура (°K) конгруэнтного или инконгруэнтного плавления. Температура плавления, конечно, ничего еще не говорит о разложении. Даже температура инконгруэнтного плавления не может рассматриваться в качестве границы, выше которой исходное соединение не существует. Но зато ниже этой границы соединение в кристаллическом состоянии, безусловно, устойчиво. Отсюда следует, что значение $\frac{\Delta H^0}{T_{nn}}$ может рассматриваться как верхний предел величины ΔS^0 . Следовательно, среднее значение ΔS^0 такого рода процессов может быть 10 э. е.

Сравнивая значения $\Delta H^0 \approx 4-6$ ккал/моль и $S^0 < 10$ э. е. с соответствующими значениями из табл. I, видим, что они резко (на порядок) различаются: для процессов в паровой фазе $\Delta H^0 \approx 50-60$ ккал/моль и $\Delta S^0 \approx 30$ э. е. Причина этого, как уже говорилось при пояснении схемы I, заключается в специфике наложения энтальпии и энтропии процессов сублимации всех трех партнеров на аналогичные величины процесса разложения в кристаллических фазах. Чтобы убедиться в этом, произведем анализ с помощью термодинамической схемы, относящейся к системе KCI — LnCl₃.

$${}^{1}/_{y} [K_{x} Ln_{y} Cl_{3y+x}] = \frac{x}{y} [KCl] + [LnCl_{3}] \qquad \Delta H_{1}^{0}, \ \Delta S_{1}^{0}$$

$$[KCl] = (KCl) \qquad \qquad \Delta H_{2}^{0}, \ \Delta S_{2}^{0}$$

$$[LnCl_{3}] = (LnCl_{3}) \qquad \qquad \Delta H_{3}^{0}, \ \Delta S_{3}^{0}$$

$$(KLnCl_{4}) = (KCl) + (LnCl_{3}) \qquad \Delta H_{4}^{0}, \ \Delta S_{4}^{0}$$

$$\frac{1}{y} [K_{x} Ln_{y} Cl_{3y+x}] = \frac{x-y}{y} [KCl] + (KLnCl_{4}) \qquad \Delta H_{5}^{0}, \ \Delta S_{5}^{0}$$

Энергетический и энтропийный баланс совокупности этих равновесий можно выразить уравнениями

$$\Delta H_4^0 - \Delta H_1^0 = (\Delta H_2^0 + \Delta H_3^0 - \Delta H_5^0),$$

$$\Delta S_4^0 - \Delta S_1^0 = (\Delta S_2^0 + \Delta S_3^0 - \Delta S_5^0),$$

из которых видно, что различие в устойчивости двойного соединения в паре и конденсированном состоянии определяется величинами с индексами 2, 3 и 5, т. е. характеристиками летучести всех партнеров системы, причем это различие тем больше, чем больше разность

$$(\Delta H_2^0 + \Delta H_3^0) - \Delta H_5^0$$

Аналогичная разность

$$(\Delta S_2^0 + \Delta S_3^0) - \Delta S_5^0$$

мало изменяется при переходе от одних соединений к другим и обычно составляет величину порядка 35—45 э. е.

Анализируя схему II, можно подойти к вопросу о летучести двойного соединения, т. е. о значениях характеристик ΔH_0^0 и ΔS_5^0 .

С использованием этой схемы и данных по сублимации КСІ [43], LnCl₃ [19], а также данных, приведенных в табл. 2 для ΔH_1^0 и ΔS_1^0 , были рассчитаны термодинамические характеристики процессов перехода формы KLnCl₄ в пар в гипотетических условиях, когда все конденсированные соединения образуют не расплав, а самостоятельные фазы. В этом случае справедливыми должны быть равновесия

$$[KLnCl_4] = (KLnCl_4)$$

ИЛИ

$$[K_8LnCl_6] = 2[KCl] + (KLnCl_4)$$
 и т. д.

Результаты расчета для указанных схем приведены в табл. 3. Из табл. 3 видно, что двойные хлориды являются труднолетучими веществами, сравнимыми в этом свойстве с $LnCl_3$ и КСІ (в последнем случае $\Delta H_{\rm cy6n}^0 = 50,2$ ккал/моль и $\Delta S_{\rm cy6n}^0 =$

| | [KLnCl ₄] = | (KLnCl ₄) | $[K_3LnCl_6] = + (KLnCl_6)$ | 2 [KC1] + nCl ₄) | $[LnCl_3] = (LnCl_3)$ | | |
|----------|-------------------------|-----------------------------------|-----------------------------------|-----------------------------------|-----------------------|----------------------|--|
| Р. з. э. | ΔН ₁₀₀₀ , | ΔS ⁰ ₁₀₀₀ , | ΔH ⁰ ₁₀₀₀ , | ΔS ⁰ ₁₀₀₀ , | ΔH ₁₀₀₀ , | ΔS ₁₀₀₀ , | |
| | ккал моль | э. е. | ккал/моль | э. е. | ккал/моль | э. е. | |
| Ce | 69 | 52 | 78 | 63 | 74,9 | 45,5 | |
| Pr | 69 | 52 | 78 | 63 | 73,9 | 45,7 | |
| Nd | 68 | 52 | 77 | 63 | 72,0 | 45,5 | |
| Er | 60 | 49 | 69 | 60 | 64,9 | 42,5 | |

= 32,6 э. е.). Именно поэтому для рассматриваемых систем справедливо соотношение

$$(\Delta H_2^0 + \Delta H_3^0) \gg \Delta H_5^0,$$

в силу чего

$$\Delta H_4^0 \gg \Delta H_1^0$$
,

что и является характеристикой стабилизации двойных хлоридов щелочных и редкоземельных элементов при переходе в парообразное состояние.

Перейдем к рассмотрению часто встречающегося случая, когда двойное соединение и один из продуктов диссоциации труднолетучи, а другой — легколетуч. Этот вариант иллюстрирован выше ступенчатой диссоциацией хлорида с образованием газообразного хлора. В дальнейшем мы подробнее остановимся на таком случае, важном для понимания особенностей взаимных превращений в плеядах галогенидов, окислов, оксигалогенидов и т. д., здесь же ограничимся двойными или комплексными соединениями и в качестве примера рассмотрим K₂TiCl₆, образующееся из двух разных по летучести хлоридов: КСl и TiCl₄ [44, 45]. Известно, что выше 300° С К₂TiCl₆ начинается заметно разлагаться по схеме:

$$[K_2TiCl_6] = 2[KCl] + (TiCl_4)$$
 $\Delta H_{920}^0 = 26.4 \pm 1.3 \ \kappa \kappa \alpha \Lambda / MO \Lambda b,$ (4) $\Delta S_{920}^0 = 28.5 \pm 2.3 \ \text{s. e.,}$

причем без заметного появления в конденсате хлористого калия,* что могло бы служить указанием на образование хотя бы в небольшой степени парообразного двойного соединения.

$$[Na_2ZrCl_6] = 2 [NaCl] + (ZrCl_4)$$
 $\Delta H_{610}^0 = 27 \ \kappa \kappa a \Lambda / Mo \Lambda b$, $\Delta S_{610}^0 = 28 \ \text{s. e.}$

^{*} В аналогичной системе NaCl—ZrCl₄ авторы работы [46] отмечают небольшое количество NaCl в конденсате, но объясняют это уносом пыли. По их данным, единственным процессом является распад

Сопоставим эту реакцию с гипотетическим процессом появления в парах формы $KTiCl_5$ (по аналогии с $NaZrF_5$ [9]):

$$[K_2TiCl_6] = [KCl] + (KTiCl_5).$$
(5)

• Пусть экспериментально неощутимое равновесие в паре

$$(KTiCl5) = (KCl) + (TiCl4)$$
 (6)

характеризуется значением $\Delta S^0 = 28$ э. е., подобно тому как это имеет место (см. табл. 1) для равновесня

$$(KThCl5) = (KCl) + (ThCl4). (7)$$

Составим схему.

Схема III

 $\Delta H^{0}, \ \kappa \kappa \alpha n / monb \ \Delta S^{0}, \ 9. \ e.$ $[K_{2}TiCl_{6}] = 2 \ [KCl] + (TiCl_{4}) . . . \Delta H^{0}_{1} = 26,4, \qquad 33,3$ $[KCl] = (KCl) \Delta H^{0}_{2} = 50,2, \qquad 32,6$ $(KTiCl_{5}) = (KCl) + (TiCl_{4}) \Delta H^{0}_{3} = 32, \qquad (28)$ $[K_{2}TiCl_{6}] = [KCl] + (KTiCl_{5}) . . . \Delta H^{0}_{4} > 45 \qquad (38)$

По экспериментальным данным, давление пара (TiCl4) над

К₂TiCl₆, равное 1 атм, достигается при 798°К.

Можно предположить, что условию практической нелетучести двойного соединения при этой температуре отвечает давление КТіСІ $_5 \sim 10^{-4}$ атм. Исходя из этой величины и $\Delta S^0 = 33$ э. е., найдем $\Delta H_4^0 > 45$ ккал/моль, откуда получим $\Delta H_2^0 \leqslant 32$ ккал/моль.

Вычисленные таким образом ориентировочные значения

интересны в следующем отношении:

1. Сравнивая значения ΔH^0 процессов (6) и (7), равные 32 и 49 $\kappa \kappa a \Lambda / mo \Lambda b$ соответственно, видим уже отмеченную ранее последовательность в изменении прочности двойных соединений в парах по группе, а именно: прочность КМ Cl_5 увеличивается в ряду Ti-Th (точно так же, как в III группе в ряду AI (50) — La (61), или во II группе Be (48) — Sr (67)). 2. Из-за небольшой энергии испарения $TiCl_4$ (темп. кин.

2. Из-за небольшой энергии испарения $TiCl_4$ (темп. кип. 136°С, $\Delta H_{\text{исп}}^0 = 9.6 \ \kappa \kappa \alpha \pi / \text{моль}$) значение $\Delta H_4^0 \geqslant 45 \ \kappa \kappa \alpha \pi / \text{моль}$ больше соответствующей величины $\Delta H_1^0 = 26.4 \ \kappa \kappa \alpha \pi / \text{моль}$

Поэтому реакция образования TiCl₄, по уравнению (4) (см. стр. 40), должна протекать глубже всех остальных процессов, идущих с образованием TiCl₄ парообразного.

В ином положении оказался бы аналогичный процесс в си-

стемах KCl—LnCl₃.

Например, гипотетический процесс

$$[K_2LaCl_5] = 2[KCl] + (LaCl_3) \frac{\Delta H^0}{\Delta S^0} = 1660^{\circ}K$$

по температурной шкале заметно отстает от процесса

$$[K_2LaCl_5] = [KCl] + (KLaCl_4) \frac{\Delta H^0}{\Delta S^0} = 1430^{\circ}K.$$

3. Интересным является соотношение ΔH^0 (в *ккал/моль*) и ΔS^0 (э. е.) однотипных процессов, характеризующих устойчивость двойных парообразных форм соединений:

$$(KSrCl_3) = (KCl) + (SrCl_2) \dots \Delta H^0_{1373} = 67, \quad \Delta S^0_{1373} = 32$$

 $(KLaCl_4) = (KCl) + (LaCl_3) \dots \Delta H^0_{1350} = 61, \quad \Delta S^0_{1350} = 49$
 $(KThCl_5) = (KCl) + (ThCl_4) \dots \Delta H^0_{1280} = 49, \quad \Delta S^0_{1280} = 28$
 $(KTiCl_5) = (KCl) + (TiCl_4) \dots \Delta H^0_{800} = 32, \quad \Delta S^0_{800} = 28$

Как и следовало ожидать, процессы, идущие с увеличением числа парообразных молекул на единицу, характеризуются близкими значениями ΔS^0 , около 30 э. с.

Это означает, что экспериментально ощутимое количество двойного соединения в паре можно получить лишь при высоком уровне значений ΔH^0 , порядка нескольких десятков килокалорий. Так, в приведенных примерах ΔF_{1500} принимает значения в первом случае 19 $\kappa \kappa \alpha n/monb$, а в последнем— $10~\kappa \kappa \alpha n/monb$. Таким образом, упрочнению двойных соединений при переходе в пар противостоит энтропия, образующая более или менее постоянный барьер (около 30 э. е.), для преодоления которого необходимы или высокие значения ΔH^0 (более $40~\kappa \kappa \alpha n/monb$), или высокая летучесть всех партнеров по реакции.

Перейдем к рассмотрению следующего, сравнительно редко встречающегося, случая, когда достаточно труднолетучее соединение при нагревании разлагается на два легколетучих. Приме-

ром может служить равновесие

[NH₄CI] = (NH₃) + (HCI)
$$\Delta H_{298}^0 = 42.4 \ \kappa \kappa a \Lambda / mo \Lambda b$$
, $\Delta S_{298}^0 = 68.4 \ \text{s. e.}$

Поскольку ион аммония, как известно, близок по свойствам к K^+ и Rb^+ , можно ожидать, что и характеристики сублимации NH_4Cl будут близкими к соответствующим характеристикам RbCl и KCl, т. е. к значениям $\Delta H_{298} \approx 53$ ккал моль и $\Delta S_{298}^0 \approx 37$ э. е.

Составляем схему.

Схема IV

| | ΔH^0 , $\kappa \kappa a \Lambda MO \Lambda b$ | ∆S°, 9. e. |
|----------------------------------|---|------------|
| a) $[NH_4C1] = (NH_3) + (HC1)$. | . 42,4 | 68,4 |
| 6) $[NH_4C1] = (NH_4C1)$ | . (53) | (37) |
| B) $(NH_4CI) = (NH_3) + (HCI)$. | . — 11 | 31 |

Исходя из экспериментальных, но сильно устаревших литературных данных, наиболее поздние из которых относятся к 1915 [47, 48] и 1928 [49] годам, равновесие (в) можно охарактеризовать значением $\Delta H^0 = 9,4$ ккал/моль. Если это так, тогда летучесть NH₄Cl должна быть несколько большей, чем это предполагалось выше:

$$[NH_4C1] = (NH_4C1) \quad \Delta F^0 \approx (33000 - T \cdot 37) \quad \kappa an more.$$

Равновесие (а) характеризуется $P_{06\text{м}}=1$ атм при $T=620^\circ$ К. При этой температуре (как можно определить, используя только что произведенную оценку) давление насыщенного пара NH₄Cl может достичь 0,3 мм рт. ст., что на фоне в 760 мм рт. ст. заметить практически невозможно. Проведениая в нашей лаборатории А. В. Суворовым работа по определению давления насыщенного и ненасыщенного пара NH₄Cl методом тензиметрии подтвердила этот факт. Следует отметить, что литературные данные [47—49] базируются именно на результатах измерения плотности пара, и это заставляет сомневаться в их достоверности.

Однако при всей неопределенности рассматриваемых данных ясно одно, что значения ΔH^0 , равные 53 или 33 $\kappa\kappa an/monb$ [49] для процесса (б), близки к величине 42,4 $\kappa\kappa an/monb$ для равновесия (а), в силу чего их разность, т. е. численное значение ΔH^0 процесса (в), должна быть небольшой положительной или отрицательной величиной. Иначе обстоит дело с энтропией. Поскольку процесс (а) идет слева направо с увеличением числа газовых молекул на 2, а процесс (б) — на 1, поэтому разность $\Delta S_1^0 - \Delta S_2^0$ должна составлять величину около 30 э. е. В силу указанных обстоятельств при малой величине ΔH^0 и большой ΔS^0 процесс (в) должен быть либо необратимым (условие разнозначности ΔH^0 и ΔS^0), либо глубоко идущим уже при обычных температурах, т. е., в соответствии с указанным выше, NH_4C1 в парах неустойчив.

Итак, рассмотренные примеры позволяют сделать следующий вывод: чем меньше летучесть продуктов диссоциации (т. е. чем больше ΔH_2^0 и ΔH_3^0 в схеме I), тем более устойчиво исходное соединений в парообразном состоянии (больше ΔH_5), тем больше стабилизируется оно при переходе в пар (больше разность $\Delta H_5^0 - \Delta H_1^0$).

К другому выводу можно подойти, анализируя уравнение баланса, составленное по схеме I:

$$\frac{\Delta H_5^0 + \Delta H_4^0}{\Delta H_1^0 + \Delta H_3^0 + \Delta H_3^0} = 1.$$

или, что более строго,

$$\frac{\Delta F_{5}^{0} + \Delta F_{4}^{0}}{\Delta F_{1}^{0} + \Delta F_{2}^{0} + \Delta F_{3}^{0}} = 1. \tag{**}$$

Сумма характеристик знаменателя в этом уравнении обычно известна (или может быть известна) из данных независимо проведенного на чистых веществах эксперимента. Этим самым определяется и значение суммы $\Delta F_{5i}^0 + \Delta F_4^0$ в числителе, т. е. суммы характеристик летучести и устойчивости в парах двойного соединения. Таким образом, чем больше летучесть двойного соединения, тем больше и его устойчивость в парообразном состоянии. В качестве примера интересно проанализировать это уравнение применительно к нашим данным по системам $KCl-LnCl_3$. Для этой цели на основании табл. 3 были рассчитаны значения температур (°K), при которых давление пара $KLnCl_4$ достигает 1 и 0,01 атм (табл. 4). В этой же таблице приведены аналогичные данные для чистых $LnCl_3$ и KCl.

Таблица 4

| | [KLnCl ₄] | =(KLnCl ₄) | | = 2 [KC1] + (LnCl ₄) | [LnCl ₃] = | =(LnCl ₃) |
|----------------------------|--------------------------------------|--------------------------------------|--------------------------------------|--------------------------------------|--------------------------------------|--|
| Р. э. э. | P=1 атм | Р=0,01 атм | P=1 атм | Р=0,01 атм | Р=1 атм | Р=0,01 атм |
| | | | Темпе | ература, °К | | |
| La Ce Pr Nd Er | 1340 1320 1330 1300 1230 | 1140 1120 1130 1100 1030 | 1250 1230 1240 1210 1150 | 1090 1080 1080 1060 1000 | 1670 1650 1620 1580 1530 | 1390 1370 1350 1320 - 1250 |
| | | | | | 1550 | = (KCl) |

Из табл. З и 4 видно, что хлориды первых представителей семейства р. з. э. более труднолетучи, чем КСІ, а последних — близки к нему по летучести. Именно поэтому в той же последовательностн заметно растет летучесть двойного соединения, как это видно из табл. З и 4 (что находится в согласии также с приведенной схемой ІІ).

По ряду р. з. э. знаменатель в уравнении (**) должен непрерывно уменьшаться за счет возрастания величины ΔF_3 . Этому уменьшению в числителе соответствует уменьшение ΔF_5 (см. табл. 3), в результате чего значение ΔF^0 , характеризующее устойчивость двойного соединения в парах, изменяется мало.

Следует также отметить (и это видно из табл. 4), что летучесть двойных соединений не только увеличивается в ряду р. 3. э., но по своей величине больше летучести простых форм LnCl₃ и КСl, приближаясь к последней.

Этот вопрос интересен не столько как частный, в рамках семейства р. з. э., но и как более общий в отношении сравнитель-

ной летучести простых и двойных галогенидов щелочных металлов и элементов в одно-, двух-, трех- и даже четырехвалентном состояниях.

Для сопоставления используем термодинамические характеристики равновесий.*

$$C \times e \times a \quad V$$

$$[M'\Gamma] = (M'\Gamma) \qquad \Delta H_1^0, \quad \Delta S_1^0$$

$$[M''\Gamma_x] = (M''\Gamma_x) \qquad \Delta H_2^0, \quad \Delta S_2^0$$

$$[M'\Gamma] + [M''\Gamma_x] = (M'M''\Gamma_{x+1}) \quad \Delta H_3^0, \quad \Delta S_3^0$$

Последнее из приведенных уравнений получается как результат алгебранческого суммирования первых двух и равновесия типа

$$(M'\Gamma) + (M''\Gamma_x) = (M'M''\Gamma_{x+1}) \quad \Delta H_4^0, \quad \Delta S_4^0,$$

данные для которых (для случая Γ =Cl) приведены в табл. 1. Для NaAlCl₃, NaBeF₃ и NaZrF₅ данные взяты соответственно из [37, 26, 9]. По этим данным построен график (см. рис. 1) зависимости характеристики

$$\tau = \frac{\Delta H_{\text{cy6}\pi}^0}{\Delta S_{\text{cy6}\pi}^0} - 273$$

от форм соединений в последовательности: М' Γ , М' $M'' \Gamma_{x+1}$,

М" Γ́х.

Как видно из графика, во всех приведенных случаях наблюдается пониженное значение τ для ($M'M''\Gamma_{x+1}$) по сравнению со среднеарифметической величиной для крайних простых форм. Другими словами, точки, относящиеся к двойным соединениям, во всех случаях лежат значительно ниже прямых, соединяющих точки крайних (простых) форм.

Это означает, что двойные соединения (если отвлечься от их диссоциации и растворения в продуктах распада) либо превосходят по летучести каждую из простых форм, либо приближаются к наиболее легколетучему из них, что способствует увеличению степени ассоциации в паре согласно принципу Ле-Ша-

телье.

ветственно.

Обозначим τ двойного соединения через τ_3 , а τ простых форм — через τ_1 и τ_2 .

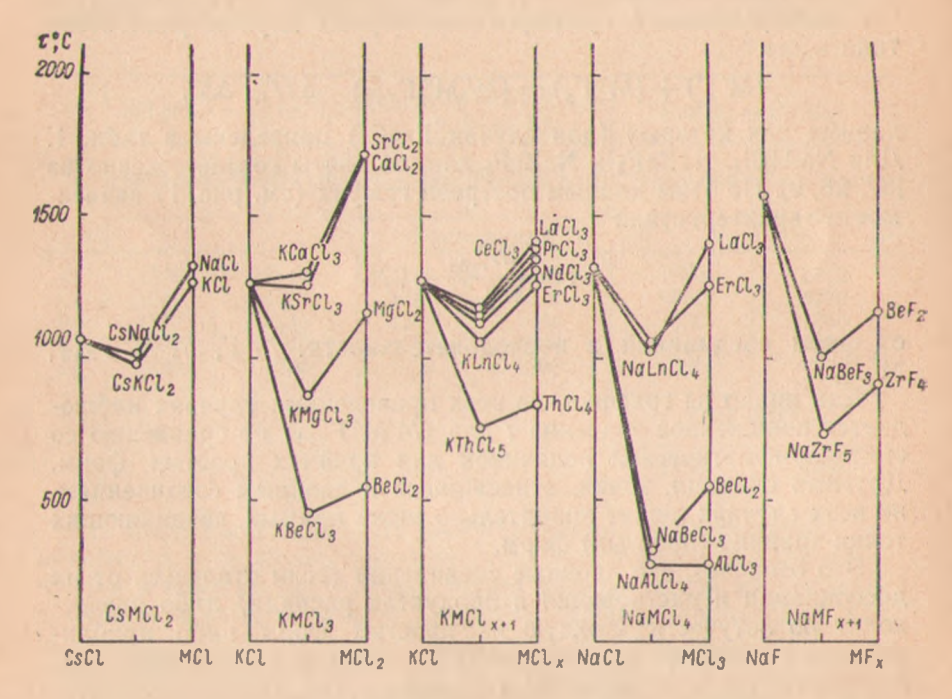
^{*} Более строгим было бы сравнение сублимаций двойных галогенидов и димеров простых галогенидов. Однако для последних в большинстве случаев экспериментальные данные отсутствуют. К тому же различие в величинах отношения $\frac{\Delta H^0}{\Delta S^0}$ сублимации для димеров и мономеров в известных случаях невелико. Например оно равно: для NaCl и Na₂Cl₂—1320 и 1230°, для KCl и K₂Cl₂—1270 и 1250°, для CsCl и Cs₂Cl₂—1070 и 1040°C соот-

Величину отклонения τ_8 от среднего значения $\frac{\tau_1+\tau_2}{2}$, τ . е $\frac{\tau_1+\tau_2}{2}-\tau_2=\Delta \tau$,

в общем виде можно представить как соотношение

$$\frac{\frac{\Delta H_{1}^{0}}{\Delta S_{1}^{0}} + \frac{\Delta H_{2}^{0}}{\Delta S_{2}^{0}}}{2} - \frac{\Delta H_{3}^{0}}{\Delta S_{3}^{0}} = \Delta \tau \tag{8}$$

(индексы те же, что и в схеме V).



Puc.~I.~ Соотношение значений $\tau = \frac{\Delta H^0}{\Delta S^0} - 273~$ для простых $M'\Gamma,~M''\Gamma_x$ и комплексных $M'M''\Gamma_{x+1}$ форм.

Выражение (8) мы получили, исходя из некоторых формальных соображений. Оно нуждается в раскрытии термодинамического смысла, что можно сделать, исходя из той же схемы V:

$$[M'Cl] = (M'Cl) \qquad \Delta H_1^0, \ \Delta S_1^0, [M''Cl_x] = (M''Cl_x) \qquad \Delta H_2^0, \ \Delta S_2^0, [M'Cl] + [M''Cl_x] = (M'M''Cl_{x+1}) \quad \Delta H_3^0, \ \Delta S_3^0,$$

откуда находим характеристику Δτ':

$$\frac{\Delta H_1^0 + \Delta H_2^0}{\Delta S_1^0 + \Delta S_2^0} - \frac{\Delta H_3^0}{\Delta S_3^0} = \Delta \tau', \tag{9}$$

т. е. $\Delta \tau' = \Delta \tau$. Следовательно, $\Delta \tau$ является достаточно строгой мерой конкуренции процессов сублимации простых и сложной форм.

Сделав подстановку в уравнение (8) величин ΔH_3^0 и ΔS_3^0

$$\Delta H_3^0 = \Delta H_1^0 + \Delta H_2^0 - \Delta H_4^0, \Delta S_2^0 = \Delta S_1^0 + \Delta S_2^0 - \Delta S_4^0,$$
 (10)

где индекс 4 относится к процессу

$$(M'M''Cl_{x+1}) = (M'Cl) + (M''Cl_x),$$

получаем выражение

$$\frac{\Delta H_4^0}{\Delta S_1^0 + \Delta S_2^0 - \Delta S_4^0} - \frac{\frac{\Delta H_1^0}{\Delta S_1^0} + \frac{\Delta H_2^0}{\Delta S_2^0}}{2} \approx \Delta \tau, \tag{11}$$

из которого видно, что величина $\Delta \tau$ определяется летучестью простых форм и устойчивостью в паре двойной. Если принять, как это следует из рис. 1, что $\Delta \tau$ не очень сильно меняется при переходе от одних соединений к другим, то соотношение (11) можно интерпретировать следующим образом: чем больше летучесть простых форм, тем менее устойчивым должно быть в паре двойное соединение.

Выражение (8) можно использовать для оценки характеристик равновесия ΔH_3^0 и ΔS_3^0 . Значение ΔS_3^0 можно оценить с достаточной степенью точности, приняв равным 30 э. е. (см. табл. 1).

Решая уравнение (8) относительно ΔH_{3}^{0} , получаем

$$\Delta H_3^0 = \left(\frac{\frac{\Delta H_1^0}{\Delta S_1^0} + \frac{\Delta H_2^0}{\Delta S_2^0}}{2} - \Delta \tau \right) \cdot (\Delta S_1^0 + \Delta S_2^0 - 30). \tag{12}$$

В этом уравнении неопределенной остается величина $\Delta \tau$. Для нахождения ее значения используем все известные в настоящее время термодинамические данные по летучести двойных хлоридов, приведенные в табл. 5. По данным столбцов 2—6 и 8 найдем среднее значение

 $\Delta \tau = 0.30 \pm 0.08,$ (13)

с использованием которого были получены значения ΔH_3^0 , приведенные в 7-м столбце. Как видно из сравнения 6-го и 7-го столбцов, экспериментальные и вычисленные значения в боль-

шинстве случаев близки между собой. Наиболее сильные расхождения имеют место преимущественно в тех случаях, когда менее надежными являются экспериментальные данные, например, для системы $KCl-BeCl_2$, $NaCl-AlCl_3$, $NaCl-BeCl_2$, $KCl-ThCl_4$. Среднее расхождение экспериментальных и вычисленных величин составляет $\pm 9\%$.

Таблица 5

| Система | жоль | 9 | МО.16 | 9 · 6 | | H ₃ , моль | ΔS_3^0 , | э. е. |
|-----------|--|--|--|--|--|--|--|--|
| Cherema | ΔH_1^0 $\kappa \kappa a \lambda$ | 45° | MAZ, KKAA | 52 | эксп. | выч | эксп. | выч. |
| 1 | 2 | 3 | 4 | 5 | 6 | 7 | 8 | 9 |
| CsCl-NaCl | 47 47 50,2 51,4 50,2 50,2 50,2 51,4 50,2 50,2 50,2 50,2 51,4 51,4 50,2 | 35 25 32,6 32,2 32,6 32,6 32,6 32,6 32,6 32,6 | 51,4 50,2 31 31 48,8 76 72 25,1 77,0 74,9 73,9 72,0 64,9 (46) | 32,2 32,6 38 38 34,0 38 36 47,1 46,0 45,5 45,7 45,5 42,5 (41,5) | 49 49 33 28 41 63 55 27 65 64 63 55 59 53 (47) | 44 43 36 36 43 60 57 37 64 62 45 61 56 41 | 38 39 46 47 36 40 36 50 45 45 45 42 45 41 (46) | 37 38 41 40 37 41 39 49 49 48 48 48 45 44 |

Безусловно, что изложенный выше способ расчета является лишь оценочным; по мере накопления фактов он должен будет уступить место какому-то другому, более строгому приему.

Рассмотрим несколько примеров использования этого способа. Выше (см. стр. 41—43) в качестве примеров рассматривались два равновесия, экспериментальное изучение которых либо затруднено, либо невозможно:

$$(NH_4CI) = (NH_3) + (HCI)$$

 $(KTiCl_5) = (KCI) + (TiCl_4).$

Первое из них, по нашим предположениям, характеризуется значением ΔH^0 около — 11 $\kappa \kappa a n/mo n b$, по литературным данным $+9.4~\kappa \kappa a n/mo n b$. Полагая, что приведенное значение $\Delta \tau$ в уравнении (13) будет справедливым, рассчитываем для этого равновесия ΔH_3 по уравнению (12), исходя из которого получаем ΔH_4 в пределах от —9 до —14 $\kappa \kappa a n/mo n b$, что удовлетворительно согласуется с ранее оцененной нами величиной (—11 $\kappa \kappa a n/mo n b$).

и

Рассмотрим второе равновесие:

$$(KTiCl_5) = (KCl) + (TiCl_4),$$

для которого оценка дала $\Delta H_4^6 \leqslant 32$ ккал/моль (см. стр. 41). Если и в этом случае воспользоваться расчетом по уравнению (12), то при соответствующем пересчете получается $\Delta H_4^6 \approx 40$ ккал/моль, что также близко к оцененной выше величине и достаточно хорошо согласуется с ожидаемыми свойствами соединения.

Связь парофазного комплексообразования с диссоциацией и диспропорционированием комплексных соединений по ступеням окисления

Если некоторый элемент M в зависимости от валентного состояния образует плеяду бинарных соединений, например, хлоридов

$$MCI-MCl_2-\ldots-MCl_{x-1}-MCl_x$$

то продукты взаимодействия их с хлоридами щелочных металлов образуют аналогичную плеяду комплексных соединений:*

$$M'MCl_2-M'MCl_3-...-M'MCl_x-M'MCl_{x+1}$$
,

различающихся между собой координационным числом и ступенями окисления. Безусловно, что степень упрочнения каждой из форм при комплексовании различна, а это должно сказаться на характеристиках процессов ступенчатой диссоциации и диспропорционирования. Вопрос этот интересен и в практическом, и в теоретическом отношении, в силу чего мы остановимся на нем подробнее.

В качестве конкретных примеров рассмотрим хлориды хрома, молибдена, вольфрама и тантала, термодинамические характеристики которых приведены в [22, 18, 50—52]. С использованием уравнения (1) по этим данным вычислены значения

$$\Delta H_3$$
 и $\tau = \frac{\Delta H_3^0}{\Delta S_3^0}$ для процессов

$$[KCI] + [MCI_x] = (KMCI_{x+1}),$$

приведенные в табл. 6 в 5—7-м столбцах. Необходимые для вычисления этих характеристик значения ΔH_2^0 и ΔS_2^0 приведены в той же таблице во 2-4-м столбцах. Вычисленные таким

образом значения $\frac{\Delta H_3^0}{\Delta S_2^0}$ (столбец 7) приведены на графике (см.

рис. 2) зависимости
$$\frac{\Delta H_3^0}{\Delta S_2^0}$$
 и $\frac{\Delta H_2^0}{\Delta S_2^0}$ от формы MCl_x .

4 Зак. 81

^{*} Поскольку речь идет о парообразных формах, то иные соотношения простых соединений, кроме 1:1, не приводятся.

| 71 | [MCI | (Cl _x) | [MC | _x + | $[KCI] = CI_{x+1}$ | $(KMCl_{x+1}) = = (KCl) + (MCl_x)$ | | |
|---|---|--|---|--|--|--|--|---|
| M | ΔH ⁰ Ккал/мо.16 | ΔS ⁰ э. е. | $\frac{\Delta H_0^0}{\Delta S_0^0}$. 10—3, °K | ΔH ⁰ , ккал моль | ∆S ₃ ₃ e. | $\frac{\Delta H_3^0}{\Delta S_3^0} \cdot 10^{-3}$, °K | ∆Н ⁰ , ккал моль | ΔS ₄ , э. е. |
| 1 | 2 | 3 | 4 | 5 | 6 | 7 | 8 | 9 |
| Cr (I) Cr (II) Cr (III) Cr (IV) Mo (I) Mo (II) Mo (IV) Mo (VI) W (I) W (II) W (II) W (IV) W (VI) Ta (I) Ta (III) Ta (III) Ta (IV) | (74) 60 46 (19) (103) (63) 39 18 (20) (145) (89) (65) 38 18 20 (137) (94) (59) (30) | (50) 41 37 (31) (41) (33) 28 31 36 (34) (33) (42) 47 31 35 (34) (37) (42) (40) | 1,48 1,46 1,24 0,61 2,51 1,91 1,39 0,61 0,50 0,59 4,39 2,34 1,55 0,81 0,58 0,57 4,03 2,54 1,41 0,75 | 64 53 44 26 76 51 36 28 28 28 96 67 56 44 26 29 92 70 53 36 | 53 44 40 34 44 36 31 34 39 37 36 41 45 50 34 38 37 40 45 43 | 1,20 1,20 1,10 0,76 1.73 1,42 1,16 0,77 0,72 0,76 2,66 1,64 1,24 0,88 0,77 0,76 2,48 1,75 1,18 0,84 | 60 57 52 43 77 62 53 43 40 42 99 72 59 44 42 41 95 74 56 44 | 30 30 30 30 30 30 30 30 30 30 30 30 30 3 |

Из графика видн_{0, что} линии, характеризующие равновесия $[MCl_x] = (MCl_x), \quad [KCl] + [MCl_x] = (KMCl_{x+1}),$

во всех случаях пересекаются между x=3-4 так, что при $x\geqslant 4$ более легколетучей оказывается простая форма MCl_x , а при $x\leqslant 3$, напротив, форма KMCl_{x+1} . Это означает, что относительное содержание двойного соединения в парах по мере увеличения x должно снижаться, причем на границе x=3 и x=4 должен происходить переход от $P_{\mathrm{MCl}_x} < P_{\mathrm{KMCl}_{x+1}}$ к $P_{\mathrm{KMCl}_{x+1}}$.

Из графика также видно, что в ряду Cr - W величины $\frac{\Delta H^0}{\Delta S^0}$, начиная с x=3 и ниже, неуклонно растут, тогда как с x=4 и выше — остаются примерно на одном уровне:

 $\tau_3(x=4, 5, 6) \approx 0.7 \sim 0.8$, а $\tau_2(x=4, 5, 6) \approx 0.5 - 0.6$, кроме $\tau_2(x=4)$ для W.

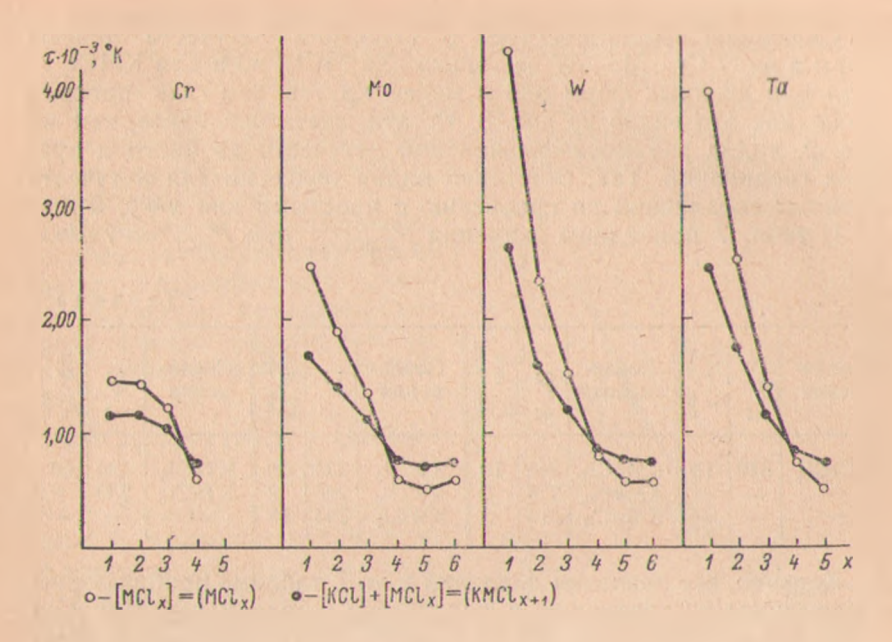
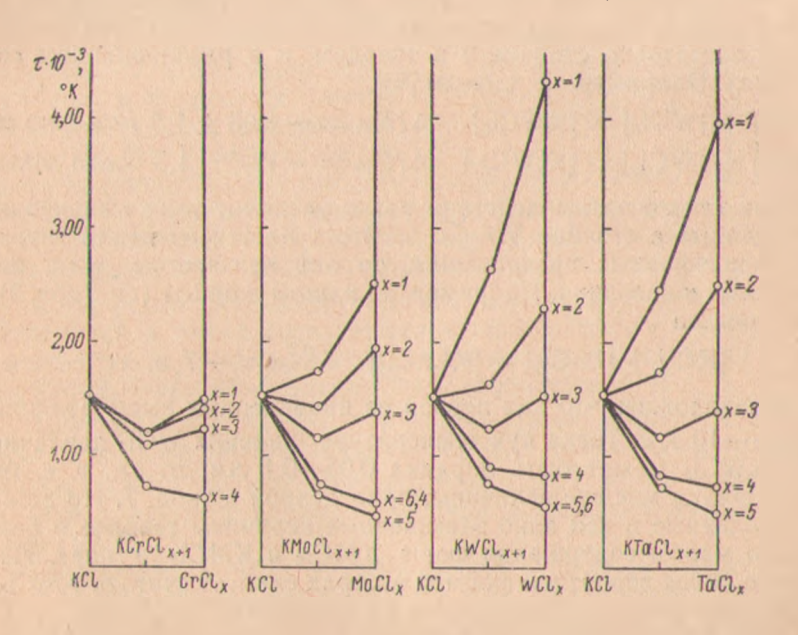


Рис. 2. Зависимость τ от ступени окисления x для процессов $[MCl_x] = (MCl_x)$ и $[KCl] + [MCl_x] = (KMCl_{x+1})$.



 Puc_{ullet} 3. Соотношение значений т для простых КСІ, МСІ $_x$ и комплексной КМСІ $_{x+1}$ форм.

Сказанное свидетельствует о спижении летучести равных форм в ряду Cr—Mo—W не только для MCl_x , но и для $KMCl_{x+1}$, хотя для двойных форм оно и менее крутое, чем для простых форм, как это видно из рис. 3. Кстати, здесь нагляднее, чем на рис. 2, видна взаимосвязь зпачений летучести двойного и простых соединений. Так, отчетливо видна более низкая летучесть двойных соединений по сравнению с простыми для x = 4, 5 и 6.

В табл. 7 приведены значения $P_{\text{KMCI}_{x+1}}$ при $P_{\text{MCI}_x} = 1$ атм.

| 1111 | 2 | n | 71 | 13 | 2.0 | 2 | 7 |
|------|----|---|------|----|-----|---|-----|
| - 1 | 61 | U | 44.0 | n | 1.1 | а | - 6 |
| | | | | | | | |

| Соеди- | t, °C | P, мм рт. ст. | Соеди- | ر. د. °C | Р, жм рт. сп. | Соеди- | t, °C | Р. мм рт ст | Соеди- | t, °C | р, им |
|--------------------|-------|---------------|--|-------------------|------------------|---|-------------------|----------------|--|-----------------|----------------|
| KCrCl ₅ | 340 | 10 | KMoCl ₅ KMoCl ₆ KMoCl ₇ | 340 276 315 | 10 2 3 | KWCl ₅ KWCl ₆ KWCl ₇ | 535 286 353 | 60 2 10 | KTaCl ₅ KTaCl ₆ | 580 230 — | 60 0,2 — |

Конечно, все значения давлений в этой таблице приближенны и завышены по сравнению с фактически ожидаемыми. Причина этого в том, что при расчете состава пара над твердыми фазами делается допущение, что простые формы в кристаллическом состоянии не взаимодействуют друг с другом. На самом деле это не так. Обычно в конденсированных фазах образуются соединения, достаточно стойкие и в твердом, и в расплавленном состояниях. Например, по данным [53],

[KCI] + [WCI₅] = [KWCI₆]
$$\Delta H_{298} = -13.3 \pm 1.5 \text{ ккал/моль},$$

2 [KCI] + [WCI₅] = [K₂WCI₇] $\Delta H_{298} = -12.7 \pm 1.3 \text{ ккал/моль}.$

Учет такого взаимодействия резко увеличит также значения, приведенные в столбце 5 табл. 6. Что касается значений энтропин твердофазных превращений, то они неизвестны, хотя, повидимому, и невелики. Например, по нашим данным (см. табл. 2), для процесса

$$[KCI] + [LnCI_3] = [KLnCI_4] \quad \Delta S_{298}^0 \approx -7 \text{ s. e.}$$

Предположим, что для первой из приведенных выше реакций $\Delta S_{298}^0 \approx -10$ э. е. Тогда при температуре кипения WCl₅ давление пара KWCl₆ может быть порядка 0,05—0,1 *мм рт. ст.*, т. е. на 1—2 порядка меньше величины, приведенной в табл. 7. Но даже и приведенные в ней явно завышенные величины говорят о безусловно малом содержании форм KMCl₆ и KMCl₇ в паре. Несколько более вероятной формой в парах следует считать KMCl₅, подобно тому как это имеет место в случае KThCl₅.

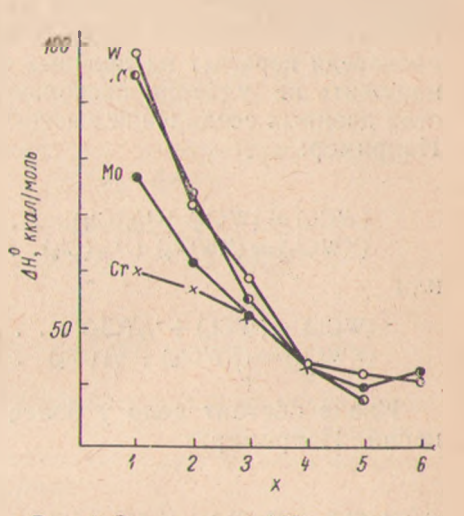
Однако не только необходимость учитывать взаимодействие в конденсированных фазах снижает точность такого рода расче-

тов. Совершенно очевидно, что величина $\Delta \tau = 0.30 \pm 0.08$, как средняя из экспериментальных значений для некоторых изученных соединений, верна лишь для веществ, близких по свойствам к ним. Следовательно, применимость метода ограничивается нока формами не сложнее MCl₄. Учитывая сказанное, данные табл. 6, относящиеся к формам KMCl₆ и KMCl₇, следует считать сугубо ориентировочными.

Перейдем к рассмотрению вопроса о термической устойчивости парообразных двойных хлоридов, критерием которой служат термодинамические характеристики процессов:

 $(\mathsf{KMCl}_{x+1}) = (\mathsf{KCl}) + (\mathsf{MCl}_x). \tag{14}$

Эти данные приведены в табл. 6, в столбцах 8 и 9, и графически на рис. 4 в виде зависимости ΔH^0 процессов от формы двойного соединения. Из графика видно, что устойчивость последних растет по мере уменьшения x, начиная с $x \le 4$, причем наиболее круто— в случае W и Та, менее круто— Мо, и полого— в случае Сг. При $x \ge 4$ для двойных хлоридов Сг, Мо, W и Та значения



Рие. 4. Зависимость ΔH^0 от ступени окисления x для процессов (KMCl_{x+1}) = (KCl) + (MCl_x), где M = Cr, Mo, W, Ta.

энергии диссоциации колеблются около 40 ккал/моль. Хотя этот уровень по абсолютной величине высок и свидетельствует о достаточно больших значениях энергии связей в молекулах двойных соединений, однако большая энтропия процессов (около 30 э. е.) резко уменьшает ΔF_4 при повышенных температурах. Этот факт, а также конкуренция устойчивости и летучести приводят к тому, что содержание в паре двойных соединений состава $KMCl_{x+1}$ при $x \geqslant 4$ должно быть небольшим.

Вспомним, что именно при таком уровне энергии в системе $KCl-TiCl_4$ содержание двойной формы в парах экспериментально неощутимо, но уже при увеличении ΔH_4 на 7-9 $\kappa\kappa an/моль$ в этой системе содержание в паре $KTiCl_5$ составляет около 25% [42].

Для формы KMCl₄ уровень энергии процесса диссоциации (14) составляет 50—60 ккал/моль, что соответствует большому содержанию таких соединений в парах. Такой же вывод можно сделать и относительно форм KMCl₃ и KMCl₂.

Перейдем к рассмотрению вопроса о влиянии процессов парофазного комплексообразования на диссоциацию и диспропорционирование двойных соединений по ступеням окисления.

Рассмотрим сначала процессы ступенчатой диссоциации с

отщеплением хлора.

Поскольку высшие простые формы MCl_6 и MCl_5 не образуют достаточно устойчивых двойных соединений, присутствие парообразных хлоридов щелочных металлов заметно не скажется на процессе диссоциации. Однако и при формальном подходе, т. е. произведя пересчет на двойные формы, заметных изменений обнаружить не удается, поскольку, как отмечалось выше, свойства двойных соединений высших хлоридов близки между собой. Например:

$$(WCl_6) = (WCl_5) + \frac{1}{2} (Cl_2) \dots 21, \qquad 24$$

$$(KWCl_7) = (KWCl_6) + \frac{1}{2} (Cl_2) \dots 20, \qquad 24$$
 или
$$(WCl_5) = (WCl_4) + \frac{1}{2} (Cl_2) \dots 30, \qquad 29$$

$$(KWCl_6) = (KWCl_5) + \frac{1}{2} (Cl_2) \dots 28, \qquad 29$$

Иначе обстоит дело у более низких форм простых соединений. Например:

| е |
|----|
| |
| ļ. |
| ìΧ |
| ; |
| , |
| 1 |

Видно, что равновесие (б) значительно сдвинуто вправо по сравнению с (а); с повышением температуры равновесие (в) развивается в противоположном направлении сравнительно с (а), а

гетерогенный процесс (г) идет глубже (а).

Таким образом, если при диссоциации исходные и конечные продукты образуют двойные соединения, это делает процесс диссоциации энергетически более выгодным. Еще более выгодными должны быть процессы образования двойных соединений только конечными продуктами диссоциации. Иначе должно обстоять дело с процессами диспропорционирования. В этом случае, если равновесие гомогенно, число молекул слева и справа от знака равенства в уравнении всегда остается неизменным, а продуктами реакции являются как более простые, так и более сложные формы (по степени окисления или замещения) по сравнению с исходными.

Совокупность трех последовательных ступеней:

C
$$x \in Ma$$
 VI
 $(KMCl_{x+2}) = (KCl) + (MCl_{x+1})$ ΔH_1^0
 $2(KMCl_{x+1}) = 2(KCl) + 2(MCl_x)$ $2\Delta H_2^0$
 $(KMCl_x) = (KCl) + (MCl_{x-1})$ ΔH_3^0

при суммировании дает уравнение

$$2 (KMCl_{x+1}) + (MCl_{x+1}) + (MCl_{x-1}) =$$

$$= 2 (MCl_x) + (KMCl_{x+2}) + (KMCl_x),$$

которое является разностью процессов диспропорционирования двойной (KMCl $_{x+1}$) и простой (MCl $_x$) форм:

$$2 \left(\mathsf{KMCl}_{x+1} \right) = \left(\mathsf{KMCl}_{x+2} \right) + \left(\mathsf{KMCl}_{x} \right), \quad \Delta H_{\mathfrak{g}}^{0},$$

$$2 \left(\mathsf{MCl}_{x} \right) = \left(\mathsf{MCl}_{x-1} \right) + \left(\mathsf{MCl}_{x+1} \right), \quad \Delta H_{\mathfrak{g}}^{0}.$$

Отсюда уравнение баланса

$$\Delta H_1^0 - \Delta H_0^0 = 2\Delta H_2^0 - (\Delta H_1^0 + \Delta H_3^0),$$

левая часть которого как раз и определяет различие в термической прочности двойного и простого парообразных хлоридов по отношению к диспропорционированию. Отсюда условие стабилизации двойного парообразного хлорида:

$$\Delta H_a^0 > \Delta H_6^0, \tag{15}$$

и, следовательно,

$$\Delta H_2^0 > \frac{\Delta H_1^0 + \Delta H_3^0}{2}$$
.

Если бы последовательный ряд значения ΔH_1^0 , ΔH_2^0 , ΔH_3^0 и т. д. следовал линейному закону, тогда только что приведенное соотношение приняло бы вид

$$\Delta H_{2}^{0} = \frac{\Delta H_{1}^{0} + \Delta H_{3}^{0}}{2}.$$

Однако, как видно из рис. 4, эта последовательность не линейная. У хрома наблюдается небольшой прогиб вверх $\left(\Delta H_2^0 > \frac{\Delta H_1^0 + \Delta H_3^0}{2}\right)$, у молибдена, вольфрама и тантала — вниз $\left(\Delta H_2^0 < \frac{\Delta H_1^0 + \Delta H_3^0}{2}\right)$. Последний вид соотношения следует счи-

тать наиболее общим; он связан с влиянием эндоэффекта координации. Поскольку в каждом из двойных хлоридов координировано на 1 атом хлора больше, влияние эндоэффекта также больше. Таким образом, из рис. 4 и приведенного выше соотношения видно, что увеличение числа аддендов у центрального ато-

ма в двойных хлоридах влечет за собой разупрочнение этих соединений в отношении распада не только по ступеням координации, но также и по ступеням окисления. С этой точки зрения становятся понятными известные факты необратимой диссоциации некоторых бинарных многоатомных хлоридов в присутствии хлоридов некоторых щелочных металлов. Например [54, 55], реакции

[WCI₆] + [KCI] = [KWCI₆] +
$$\frac{1}{2}$$
 (CI₂),
[MoCI₅] + 2 [KCI] = [K₂MoCI₆] + $\frac{1}{2}$ (CI₂)

идут необратимо слева направо, хотя в отсутствие хлоридов щелочных металлов $MoCl_5$ и несколько больше WCl_6 —вполне устойчивые соединения. То же самое наблюдается в случае VCl_4 и UF_6 [56, 57].

Приведенные примеры, однако, не совсем точно иллюстрируют указанное выше положение, так как здесь речь идет о реакциях в гетерогенных системах. К сожалению, паро-газовая область бедна термохимическими данными, поэтому приходится использовать даже не совсем относящиеся к вопросу примеры.

Переходя к реакциям ступенчатого отщепления хлора в гомогенных паро-газовых системах, рассмотрим в общем виде следующую схему:

Схема VII

$$(M'MCl_{x+1}) = (M'Cl) + (MCl_x) \qquad \Delta H_1^0, \quad \Delta S_1^0$$

$$(M'MCl_x) = (M'Cl) + (MCl_{x-1}) \qquad \Delta H_2^0, \quad \Delta S_2^0$$

$$(MCl_x) = (MCl_{x-1}) + \frac{1}{2}(Cl_2) \qquad \Delta H_3^0, \quad \Delta S_3^0$$

$$(M'MCl_{x+1}) = (M'MCl_x) + \frac{1}{2}(Cl_2) \qquad \Delta H_4^0, \quad \Delta S_4^0$$

Совокупность этих равновесий приводит к следующим уравнениям баланса:

$$\Delta H_4^0 - \Delta H_3^0 = \Delta H_1^0 - \Delta H_2^0,$$

$$\Delta S_4^0 - \Delta S_3^0 = \Delta S_1^0 - \Delta S_2^0 \approx 0,$$

откуда условие стабилизации формы $(M'MCl_{x+1})$ сравнительно с (MCl_x) по отношению к ступенчатому отщеплению хлора выражается неравенством

$$\Delta H_1^0 > \Delta H_2^0, \tag{16}$$

т. е. ΔH^0 распада высшей двойной формы (M'MCl_{x+1}) на простые должно быть больше ΔH^0 аналогичного распада низшей формы (M'MCl_x). Как видно из табл. 6, устойчивость двойных форм по отношению к распаду обратная, т. е. уменьшается при переходе от менее сложных соединений к более сложным. Это означает, что ступенчатое отщепление хлора должно легче осуществляться у двойных хлоридов, чем у простых.

Приведенная в табл. 6 последовательность устойчивости двойных соединений при изменении валентного состояния центрильного атома является достаточно общей и не может быть иной также и в других плеядах, с иным соотношением летучести соседних членов. В качестве примера рассмотрим результаты подобного вышензложенному расчета для ди- и трихлоридов самария, европия и иттербия. Необходимые исходные данные, а также результаты расчета по ним приведены в табл. 8.

Таблица 8

| MOI | при | $[MCI_x] =$ температ | $(KMCl_{x+1}) = (KCl) - (MCl_x)$ | | | |
|--|---|---|--|--|----------------------------------|----------------------------------|
| MC1 _x | Δ/1 ⁰ субл., ккал моль | ΔS ⁰ _{субл.} , э. е. | ΔH ⁰ _{исп.} , ккал/моль | ΔS ⁰ _{исп.} , э. е. | ΔΗ ⁰ , ккал/моль | ΔS ⁰ , э. е. |
| SmCl ₂ . SmCl ₃ . EuCl ₂ . EuCl ₃ . YbCl ₂ . YbCl ₃ . | 60,5 69 65 68 66 65,5 | 28,8 45 30 44 32 42 | 56,6 60 60,5 59,5 59,3 56 | 25,4 35 25,5 35 25,5 33,5 | 67 60 69 60 68 60 | 33 33 33 33 33 33 |

Из табл. 8 видно, что и в этих плеядах справедливо соотношение (16), т. е. и здесь низшая форма при комплексообразовании стабилизируется по сравнению с высшей, и, следовательно, отщепление хлора должно глубже идти у двойных хлоридов, чем у простых.

О связи комплексообразования и димеризации парообразных форм

Как указывалось выше, имеет определенный смысл рассматривать парообразные соединения как продукты обмена своими частями между парообразными димерами

$$\frac{x}{2} (A_2) + \frac{y}{2} (B_2) = (A_x B_y), \tag{17}$$

где под A и B подразумеваются не только атомы различных элементов, но и соединения, например (KCl)₂, (FeCl₃)₂ и т. д.

Такой подход, как нам кажется, позволяет лучше разобраться в вопросе о конкуренции прочности гомо- и гетеросоединений, а также позволяет в какой-то мере дифференцировать связи в сложных соединениях, типа комплексных, по сравнению с подходом с позиций образования из простых форм:

$$x(A) + y(B) = (A_x B_y). \tag{18}$$

Вопрос о конкуренции прочности гомо- и гетеросоединений включает в себя как составную часть вопрос о коррелятивной

связи этих соединений. Иными словами, с этих позиций можно, как нам кажется, поиять, в какой степени те или иные комплексные соединения в паре являются продуктами взаимозамешения димеров. Строго говоря, замещение имеет место лишь тогда, когда оба гомосоединения очень близки по свойствам, как, например, в замещенных димерах хлоридов щелочных металлов, близких по положению в группе Системы. В этом случае процесс замещения энергетически почти безразличен. Например:

$$(Rb_2Cl_2) + (K_2Cl_2) = 2(RbKCl_2)$$
 $\Delta H^0 \approx 0$ [31], $(Na_2F_2) + (K_2F_2) = 2(NaKF_2)$ $\Delta H^0 \approx 0$ [15].

Но даже в пределах I группы по мере перехода от близких к все более удаленным щелочным металлам это безразличие постепенно снижается. Например:

$$(Na_2Cl_2) + (Cs_2Cl_2) = 2(NaCsCl_3)$$
 $\Delta H^0 = -10 \ \kappa \kappa \alpha \Lambda / MOAb$ [23].

Такой эффект является показателем значительно большего различия в свойствах соединений натрия и цезия, чем это имеет место у веществ, рассмотренных выше.

При переходе к двойным соединениям хлоридов щелочных металлов с хлоридами элементов II и III групп это различие должно увеличиваться, так как в той же последовательности возрастает разница в свойствах простых соединений. Например:

$$(Na_2Cl_2) + (Al_2Cl_6) = 2 (NaAlCl_4)$$
 $\Delta H^0 = -27 \ \kappa \kappa a \pi / Morb$ [22], $(Na_2Cl_2) + (Be_2Cl_4) = 2 (NaBeCl_3)$ $\Delta H^0 = -22 \ \kappa \kappa a \pi / Morb$ [27].

Важным обстоятельством для понимания природы парообразных двойных хлоридов является то, что термическая прочность их при переходе от одних элементов к другим изменяется симбатно устойчивости димерных молекул простых хлоридов. Иллюстрацией этому служат данные, приведенные в табл. 9.

Учитывая сказанное, рассмотрим несколько подробнее и под углом зрения комплексообразования в паре вопрос о димеризации хлоридов различных элементов.

Таблица 9

| Процессы | M | ∆ <i>H</i> ⁰ , ккал моль | Литературный источник | | | |
|------------------------------|----|--|-----------------------|--|--|--|
| $(M_{2}Cl_{4}) = 2(MCl_{2})$ | Be | 23 | [1] | | | |
| | Mg | 39,2 | [54] | | | |
| | Be | 48 | [58, 27] | | | |
| | Mg | 58 | [58, 27] | | | |
| $(M_2Cl_2) = 2 (MCl)$ | Na | 48,5 | [55] | | | |
| | K | 44,5 | [55] | | | |
| | Na | 69,8 | [37] | | | |
| | K | 61,4 | [17] | | | |

Тензиметрические исследования, в особенности широкое применение масс-спектрометрии, привели к установлению многочисленных фактов полимеризации многих элементов и их соединений в паровой фазе и позволили рассчитать их термодинамические характеристики. Эти факты стали фундаментом нового подхода к вопросу о полимеризации соединений в парах, было сделано предположение о том, что полимеризация, и в особенности димеризация, — явление общее, а случаи, когда эксперимент не обнаруживает полимерных молекул, свидетельствуют не об отсутствии полимеризации, а об уровне чувствительности метода, о той конкуренции, которая идет между процессами сублимации (испарения) и диссоциации димерных молекул в паре. Эта конкуренция является важным фактором, определяющим степень димеризации соединений. Чтобы показать это паглядно, сравним два однотипных равновесия:

$$(Fe_2Cl_2) = 2 (FeCl_3)$$
 $\Delta H_{850}^0 = 31,6$ ккал/моль, $\Delta S_{850}^0 = 29,8$ э. е., $(K_2Cl_2) = 2$ (KCl) $\Delta H_{1000}^0 = 44,5$ ккал/моль, $\Delta S_{1000}^0 = 28,4$ э. е.

Из сопоставления характеристик этих равновесий видно, что K₂Cl₂ более устойчив, чем Fe₂Cl₆. Однако известно, что хлорное железо в насыщенном паре при 300° С димеризовано практически полностью, тогда как пар хлористого калия в тех же условиях содержит около 4 мол. % димера. Причиной является огромная разница в общем давлении насыщенного пара — около 12 порядков. Константа деполимеризации с повышением температуры, конечно, всегда уменьшается, но процесс идет с увеличением числа газовых молекул, и поэтому крутой, экспоненциальный рост давления насыщенного пара способствует смещению равновесия в сторону димера. Эти две тенденции - рост давления и рост температуры — противоположны, они конкурируют между собой, и в зависимости от соотношения характеристик степень ассоциации в паре с температурой может уменьшаться, оставаться неизменной или возрастать. Это обстоятельство было отмечено и представлено в виде схемы еще Брюэром [57].

C X e M a VIII

$$(A_2) = 2 (A)$$
 ΔH_D^0 ,
 $[A] = (A)$ ΔH_1^0 ,
 $2 [A] = (A_2)$ ΔH_2^0 ,

откуда

$$2\Delta H_1^0 - \Delta H_2^0 = \Delta H_D^0.$$

Если $\Delta H_1^0 = \Delta H_D^0$, тогда $\Delta H_2^0 = \Delta H_1^0$, и, следовательно, соотношение димера и мономера в насыщенном паре будет неизменным при всех температурах. Если $\Delta H_1^0 > \Delta H_D^0$, то $\Delta H_1^0 < \Delta H_2^0$, т. е. содержание димерной формы в насыщенном паре будет уменьшаться, и т. д.

Выражение для степени диссоциации полимерных молекул в насыщенном паре может быть получено следующим образом.

Пусть система описывается совокупностью равновесий:

$$\begin{array}{c} \text{C x e m a IX} \\ y \left[\mathbf{A} \right] = \left(\mathbf{A}_{y} \right) & \Delta H_{1}^{0}, \ \Delta S_{1}^{0}, \ K_{1} = P_{\mathbf{A}}, \\ (\mathbf{A}_{y}) = y \left(\mathbf{A} \right) & \Delta H_{2}^{0}, \ \Delta S_{2}^{0}, \ K_{2} = P_{\Lambda}^{y} / P_{\Lambda_{y}}, \\ \hline y \left[\mathbf{A} \right] = y \left(\mathbf{A} \right) & y \cdot \Delta H_{3}^{0} = \Delta H_{1}^{0} + \Delta H_{2}^{0}, \\ y \cdot \Delta S_{3}^{0} = \Delta S_{1}^{0} + \Delta S_{2}^{0} K_{3} = P_{\Lambda}^{y}. \end{array}$$

Общее давление в системе $P_{\text{общ}}$ и степень диссоциации полимерных молекул X можно записать так:

$$X = \frac{P_{\rm A}}{yP_{\rm Ay} + P_{\rm A}}.\tag{19}$$

Сделав подстановку:

$$P_{A} = a \exp\left[-\frac{\Delta H_{3}^{0}}{RT}\right],$$

$$P_{Ay} = b \exp\left[-\frac{y \cdot \Delta H_{3}^{0} - \Delta H_{2}^{0}}{RT}\right],$$
(20)

находим:

$$X = \frac{1}{1 + y \exp\left[\frac{(y - 1)\Delta S_3^0 - \Delta S_2^0}{R}\right] \exp\left[-\frac{(y - 1)\Delta H_3^0 - \Delta H_2^0}{RT}\right]}.$$
 (21)

Из уравнения (21) следует, что при условии $(y-1)\Delta H_3^0 = \Delta H_2^0$ степень диссоциации полимерных молекул не должна зависеть от температуры и близка к 20—30%. Если же указанные две величины не равны между собой, то в зависимости от того, которая из них больше, с ростом температуры степень диссоциации будет или возрастать, или убывать.

Рассмотрим в качестве примера сублимацию и испарение хлористого калия КСІ. Используя следующие данные, относя-

щиеся к 1000° К:

$$\Delta H_3^0 = 50.2 \text{ ккал/моль}, \quad \Delta H_2^0 = 44.5 \text{ ккал/моль},$$

$$\Delta H_{\pi\pi}^0 = 6.7 \text{ ккал/моль},$$

$$\Delta S_3^0 = 32.6 \text{ s. e.}, \quad \Delta S_2^0 = 28.4 \text{ s. e.}, \quad \Delta S_{\pi\pi}^0 = 6.4 \text{ s. e.},$$

получаем значения степени диссоциации димера (содержание

мономера в %), приведенные в табл. 10.

Из таблицы видно, что степень диссоциации K_2Cl_2 в насыщенном паре пад твердым КСI уменьшается, а над расплавленным — незначительно возрастает.

Апалогичная картина наблюдается и в системах, где пар со-держит наряду с простыми также и двойные соединения.

| <i>T</i> , °K | X, % | <i>т</i> , °к | X, % |
|---------------|-----------|---------------|------|
| 500 | 95 | 1100 | 49 |
| 1000 | 51 | 1300 | 51 |
| 1043 | Плавление | 1500 | 52 |

Пусть над расплавом компонентов A, B и продуктами их возможных ассоциаций равновесие описывается следующей схемой X:

$$C \times e \times a \times X$$
 {Pаспл.} = (AB) ΔH_1^* , ΔS_1^* , (AB) = (A) + (B) ΔH_2^0 , ΔS_2^0 , {Pаспл.} = (A) + (B) ΔH_3 , ΔS_3^* .

Степень диссоциации (AB) аналогично рассмотренному случаю (см. схему IX) равна

$$X = \frac{P_{\rm A} + P_{\rm B}}{P_{\rm A} + P_{\rm B} + 2P_{\rm AB}}$$

Сделав подстановку

$$P_{AB} = \alpha \exp\left(-\frac{\Delta H_1^*}{RT}\right),$$

$$P_A + P_B = \beta \exp\left(-\frac{\Delta H_3^*}{RT}\right),$$

находим

$$X = \frac{1}{1 + 2 \exp\left[\frac{\Delta S_1^* - \Delta S_3^*}{R}\right] \cdot \exp\left[-\frac{\Delta H_1^* - \Delta H_3^*}{RT}\right]}.$$
 (22)

Здесь верхний индекс (*) означает, что речь идет не об истинных термодинамических, а о брутто-характеристиках, являющихся эмпирическими константами в уравнениях

$$\lg P_{\text{AB}} = \frac{\Delta S_1^*}{4,575} - \frac{\Delta H_1^*}{4,575 T},$$

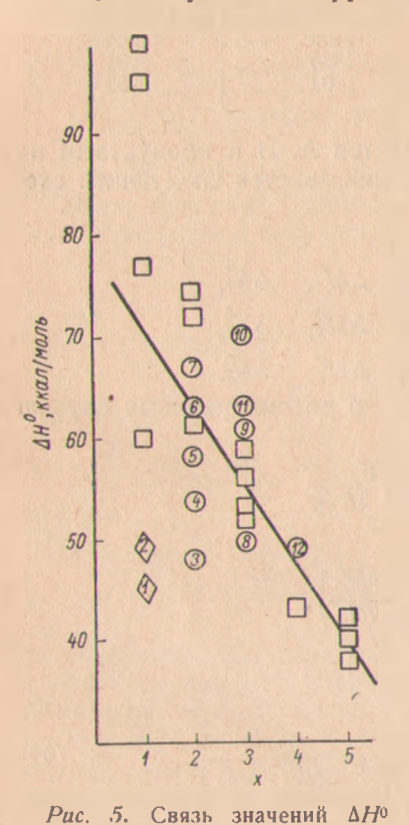
$$\lg (P_{\text{A}} + P_{\text{B}}) = \frac{\Delta S_3^*}{4,575} - \frac{\Delta H_3^*}{4,575 T}$$

в пределах линейности функций $\lg P = f\left(\frac{1}{T}\right)$.

Из сравнения уравнений (21) и (22) видно их сходство, что свидетельствует о формальном сходстве процессов димеризации и образования двойных форм. Точно так же степень диссоциации с изменением температуры может уменьшаться, увеличи-

ваться и оставаться постоянной в зависимости от соотношения характеристик.

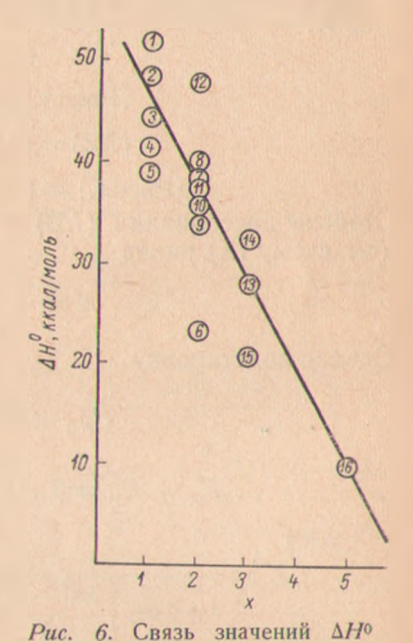
Однако помимо такого формального можно заметить сходство и по существу. Анализируя известные из литературы данные,



мента М' (или М") для процесса (М'М"СІ_{х+1}) = (М'СІ) + + (М"СІ_х). 1 — CsKCI₃; 2 — CsNaCI₂; 3 — KBeCI₃; 4 — NaBeCI₃; 5 — KMgCI₃; 6 — KCaCI₃; 7 — KSrCI₃; 8 — NaAICI₄; 9 — KLaCI₄; 10 — NaLaCI₄; 11 — NaErCI₄; 12 — КТhCI₃. Кваяратами показаны расчетные для хлоридов хрома, молибдена и вольфрама.

и ступеней окисления х эле-

мы видим, что по мере увеличения числа атомов галогена (хлора) в молекуле галогенида уменьшается не только энергия димеризации, но и энергия образования двойных галогенидов. Ил-



н ступеней окисления элемента M для процесса $(M_2Cl_{2x}) = 2 (MCl_x)$. $1 - \text{Li}_2Cl_2; 2 - \text{Na}_2Cl_3; 3 - \text{K}_2Cl_3; 4 - \text{Rb}_3Cl_2; 5 - \text{Cs}_2Cl_2; 6 - \text{Be}_2Cl_4; 7 - \text{Rb}_3Cl_2; 6 - \text{Re}_3Cl_3; 7 - \text{Re}_3Cl$

 $\begin{array}{lll} I-Li_{8}Cl_{2};\;2-Na_{2}Cl_{2};\;3-K_{2}Cl_{2};\;4-Rb_{3}Cl_{2};\;5-Cs_{2}Cl_{2};\;6-Be_{2}Cl_{4};\;7-Mg_{2}Cl_{4};\;8-Zn_{2}Cl_{4};\;9-Fe_{2}Cl_{4};\;10-Co_{2}Cl_{4};\;11-Mn_{2}Cl_{4};\;12-Cr_{2}Cl_{4};\;13-Al_{2}Cl_{6};\;14-Fe_{2}Cl_{4};\;15-Ga_{2}Cl_{6};\;16-W_{2}Cl_{10};\;16-Mn_{2}Cl_{6};\;16-Mn_{$

люстрацией этому служат графики (рис. 5 и 6) зависимости энергии образования из простых форм молекул димерных (рис. 6) и двойных (рис. 5) хлоридов от валентности x элемента M. Как видно из графиков, в обоих случаях отчетливо видна общая тенденция к снижению ΔH^0 с ростом x. Точки под номерами 1 и 2 на рис. 5 относятся к смешанным димерам щелочных

металлов и поэтому располагаются обособленно. Прямые линии на этих графиках проведены только для того, чтобы оттенить тенденцию в расположении точек.

Таким образом, в свойствах димерных и двойных хлоридов

наблюдаются некоторые общие черты.

Выше кратко упоминалось об особенностях реакций распада парообразных соединений на простые димеры, энергетические эффекты которых являются количественной мерой конкуренции гомо- и гетеросоединений. Как характеристики конкуренции эти величины численно намного меньше характеристик диссоциации тех же соединений на свободные атомы, что видно из следующих примеров [1]:

$$\Delta H^0, \ \kappa \kappa a n | \ monb$$

$$(GeC) = (Ge) + (C) \dots 109$$

$$(GeC) = \frac{1}{2} (Ge_2) + \frac{1}{2} (C_2) \dots 5$$

$$(GeSI) = (Ge) + (Si) \dots 71$$

$$(GeSI) = \frac{1}{2} (Ge_2) + \frac{1}{2} (Si_2) \dots 1,5$$

$$(SiC) = (Si) + (C) \dots 103$$

$$(SiC) = \frac{1}{2} (Si_2) + \frac{1}{2} (C_2) \dots -6$$

В тех случаях, когда различие в природе простых форм больше, чем у таких родственных элементов, как Ge—C, Ge—Si, Si—C, распад на димеры сопровождается значительными тепловыми эффектами, а разность между характеристиками распада на атомы и димеры становится, напротив, меньше. Например [1]:

| | | ΔH° , $\kappa \kappa a n M o n t$ |) |
|--|---|---|---|
| $ \begin{aligned} &(\text{GeO}) = (\text{Ge}) + (\text{O}) \\ &(\text{GeO}) = \frac{1}{2} (\text{Ge}_2) + \frac{1}{2} (\text{O}_2) \\ &(\text{SiO}) = (\text{Si}) + (\text{O}) \\ &(\text{SiO}) = \frac{1}{2} (\text{Si}_2) + \frac{1}{2} (\text{O}_2) \\ &(\text{NaCl}) = (\text{Na}) + (\text{Cl}) \\ &(\text{NaCl}) = \frac{1}{2} (\text{Na}_2) + \frac{1}{2} (\text{Cl}_2) \end{aligned} $ | | . 159 . 68 . 192 . 96 . 98,5 (298° K) | |
| () /2 (2) /2 (2) . | • | (, , | |

Переходя к двойным хлоридам, следует отметить, что различие свойств у хлоридов значительно меньше, чем у металлов и металлоидов. Так, например, в случае смешанных димеров хлоридов щелочных металлов энтальпия распада на простые димеры мала:

$$\Delta H^0$$
, ккал/моль (CsNaCl₂) = ${}^{1}/{}_{2}$ (Cs₂Cl₂) + ${}^{1}/{}_{2}$ (Na₂Cl₂) 6 (CsKCl₂) = ${}^{1}/{}_{2}$ (Cs₂Cl₂) + ${}^{1}/{}_{2}$ (K₂Cl₂) 4

В случае элементов в 2- и 3-валентном состояниях она несколько больше — около 15 ккал/моль:

| | | Δ | יבו | , 1 | CKI | αл | I/MO | Λl |
|--|---|----------|-----|-----|-----|----|------|-------------|
| $(KBeCl_3) = \frac{1}{2} (K_2Cl_2) + \frac{1}{2} (Be_2Cl_4)$. | ۰ | | | | | | 14 | |
| $(NaBeCl_3) = \frac{1}{2} (Na_2Cl_2) + \frac{1}{2} (Be_2Cl_4)$ | | | | | | | 18 | |
| $(KMgCl_3) = \frac{1}{2} (K_2Cl_2) + \frac{1}{2} (Mg_2Cl_4)$ | | | | | | | | |
| $(NaAlCl_4) = \frac{1}{2}(Na_2Cl_2) + \frac{1}{2}(Al_2Cl_6)$ | | | | | | | | |
| $(NaFeCl_4) = \frac{1}{2} (Na_2Cl_2) + \frac{1}{2} (Fe_2Cl_6)$ | | | | | | | 12 | |

Для дихлоридов элементов IV периода — хрома, марганца, железа, кобальта и никеля — известны термодинамические характеристики димеризации, но нет экспериментальных данных об образовании двойных парообразных соединений с хлоридами щелочных металлов. Этот недостаток сведений может быть частично компенсирован расчетом по приведенному выше уравнению (12). Результаты такого расчета приведены в табл. 11, из которой видно, что исходные для расчета величины с индексами 4, 2 и D изменяются довольно заметно, а величина ΔH_{δ}^0 остается практически неизменной, хотя и несколько меньшей, чем в приведенных выше примерах для Ве, Mg и Al. Последнее объясняется различием в положении сравниваемых элементов в Периодической системе, а небольшая величина этого различия говорит о достаточном постоянстве рассматриваемой характеристики. О том же свидетельствует и такой пример.

Таблица 11

| MCI _x | (KMCI = (KCI) | $ _{x+1}) = + (MCl_x)$ | [MCl _x] = | $=(MCl_x)$ | $ \begin{pmatrix} (M_2Cl_{2x}) = \\ = 2 (MCl_x) \end{pmatrix} $ | $(KMCl_{x+1}) = 1/2 (K_2Cl_2) + 1/2 (M_2Cl_{2x})$ |
|---|--|--|--|--|--|---|
| | лно, ккал моль | ΔS ₄ , 9, e. | Н ⁰ кал по ь | ΔS ₂ э е. | ΔH_D^0 , ккал $ $ моль | ΔН _δ , ккал моль |
| CrCl ₂ MnCl ₂ FeCl ₂ CoCl ₂ . NiCl ₂ FeCl ₃ . CrCl ₃ . | 58 53 52 52 52 53 50 52 | 30 30 30 30 30 30 30 30 | 60 44 44,0 40 48 32,3 47,6 | 40 34,5 36,4 33 38 42,9 37,4 | 47,9 37,7 32,0 35,5 39,6 31,6 (38)* | 12 12 12 12 11 10 (11) |

^{*} Вычислено нами (принято $\Delta H_4^0 = 11 \ \kappa \kappa a \Lambda$).

В данных [20] по хлоридам вольфрама имеется характеристика процесса димеризации WCI₅:

$$2 (WCl_5) = (W_2Cl_{19}) \quad \Delta H_{500}^0 = -10 \ \kappa \kappa \alpha \Lambda / MOAb.$$

Используя расчетную величину ΔH_1^0 из табл. 6 для KWCl₆, равную 42 *ккал/моль*, получаем для процесса

$$(KWCl_6) = \frac{1}{2}(K_2Cl_2) + \frac{1}{2}(W_2Cl_{10})$$
 $\Delta H^0 = 15 \ \kappa \kappa \alpha \Lambda / MOAB$

Таким образом, все приведенные примеры свидетельствуют о том, что величина $\Delta H_{\rm b}^0$ (см. схему XI) мало изменяется при переходе от одних элементов к другим. Если бы она была постоянна для любых пар хлоридов щелочных и иных элементов, то

имелась бы возможность с ее помощью вычислять значения энергии димеризации хлоридов практически всех элементов, исходя из схемы XI.

Однако постоянство ΔH_{δ}^{0} при переходе от одних элементов к другим в рядах и подгруппах Системы кажется маловероятным. Повидимому, следует ожидать некоторой тенденции к изменению, подобной той, которая видна в следующем примере:

К сожалению, все известные данные о димеризации хлоридов 2-и 3-валентных элементов ограничиваются Be_2Cl_4 (приближенные данные [59]), Mg_2Cl_4 [54], Zn_2Cl_4 [60], Fe_2Cl_4 [61, 11], Cr_2Cl_4 [61], Mn_2Cl_4 [61], Co_2Cl_4 [61], Ni_2Cl_4 [61], Al_2Cl_6 [1], Fe_2Cl_6 [10], Ca_2Cl_6 [63, 62], т. е. элементами верхней части

Периодической системы.

Кроме того, даже и эти дапные в ряде случаев нельзя считать достаточно надежными. Например, для димеризации ZnCl_2 предложены исключающие друг друга значения $\Delta H^0 = -6.4$ [1] и -40.1 ккал/моль [60]; для димеризации TIC1 -67.0 [64] и -17.0 ккал/моль [65]. В подавляющем большинстве данные единичны, не проверены в других исследованиях. Все это затрудняет нахождение численных значений ΔH_0^0 . Однако сам по себе эффект не очень велик, поэтому можно надеяться на то, что даже грубое приближение не внесет серьезных ошнбок в последующие расчеты. Выше было показано, что для некоторых следующих в группах друг за другом элементов во II и III периодах Системы значения ΔH_0^0 отличаются примерно на 2 ккал/моль.

Исходя из этого, можно принять следующую приближенную

схему изменения ΔH_{δ}^{0} при переходе от II периода к VI:

| | r. | | | 10. | _ | ep. |
|-----|--------|---|---|-----|---|----------|
| | | Δ | Н | 0 | К | кал моль |
| -11 | | | | | | 14 |
| 111 | | | | | | 16 |
| IV | | | | | | (18) |
| V | | | | | | (20) |
| VI | | | | | | (22) |

Учитывая сказанное, можно предложить способ оценочного расчета энергии димеризации хлоридов. Объединяя уравнение (11) с величиной ΔH_D^0 из схемы XI, находим для процесса диссоциации димера

$$(M_3Cl_{2x}) = 2 (MCl_x)$$

следующее выражение:

$$\Delta H_D^0 = \left(\frac{30 - \Delta S_2^0}{\Delta S_1^0}\right) \cdot \Delta H_1^0 + \left(\frac{30 + \Delta S_2^0 - \Delta S_1^0}{\Delta S_2^0}\right) \Delta H_2^0 + \\ + \left(\Delta S_2^0 + \Delta S_1^0 - 30\right) 0.6 - 2\delta, \tag{23}$$

где индексы 1 и 2 относятся к равновесиям

[KCI] = (KCI)
$$\Delta H_1^0$$
, ΔS_1^0 ,
[MCI_x] = (MCI_x) ΔH_2^0 , ΔS_2^0 .

Поскольку при переходе от одних хлоридов к другим характеристики сублимации КС1 остаются практически неизменными, выражение (23) упрощается:

$$\Delta H_D^0 = \left(1 - \frac{2.6}{\Delta S_2^0}\right) \cdot \Delta H_2^0 - 0.94 \cdot \Delta S_2^0 - 2\delta + 48. \tag{24}$$

В этом уравнении два слагаемых мало изменяются при переходе от одних соединений к другим: значения ΔS_2^0 могут изменяться в интервале примерно 30-45 э. е., величина δ — от 14 до 22 единиц (для элементов I группы или других в одновалентном состоянии δ принимает более низкие значения, порядка 10 единиц). В то же время ΔH_2^0 может изменяться в пределах 1,5-2 порядков, в силу чего изменения ΔH_D^0 оказываются симбатными изменениям ΔH_2^0 (сублимации второго партнера), а по величине ΔH_D^0 могут быть как большими положительными (например, для SrCl_2 $\Delta H_D^0 = 50$ ккал/моль), так и небольшими отрицательными (например, для TiCl_4 $\Delta H_2^0 = 10,7$ ккал/моль, $\Delta S_2^0 = 29,7$ э. е., откуда $\Delta H_D^0 \approx -6$ ккал/моль, а $X \approx 4 \cdot 10^{-8}\%$, при темп. кип.). Уравнение (24) интересно также и в том отношении, что оно устанавливает качественное соотношение между ΔH_D^0 и ΔH_2^0 , а именно:

$$\Delta H_{2}^{0}\!>\!\Delta H_{D}^{0},$$
 или $\frac{\Delta H_{2}^{0}}{\Delta H_{D}^{0}}\!>\!1.$

И действительно, если член $0.94 \cdot \Delta S_2^0 = 28$, а $2\delta = 32$, то их сумма будет больше 48. Следовательно, сумма последних трех членов, как правило, должна быть отрицательной, в силу чего и получается указанное выше перавенство. Иллюстрацией тому

могут служить данные, приведенные в табл. 12. Здесь ΔH_2^0 является характеристикой процесса сублимации: [MCI_x] = (MCI_x), а ΔH_D — процесса диссоциации димера: $(M_2CI_{2x}) = 2 (MCI_x)$.

Таблица 12

| Соединение | $\frac{\Delta H_2^0}{1/2 \cdot \Delta H_D^0}$ | Соединение | $\frac{\Delta H_2^0}{1/2 \cdot \Delta H_D^0}$ | Соединение | $\frac{\Delta H_2^0}{1/2 \cdot \Delta H_D^0}$ |
|------------------------------|---|---|---|--|---|
| LiCI NaCI KCI RbCI CsCI TICI | 1,90 2,12 2,26 2,34 2,40 3,34 | BeCl ₂ MgCl ₂ ZnCl ₂ CrCl ₂ MnCl ₂ FeCl ₂ | 2,70 2,48 5 2,48 2,34 2,74 | CoCl ₂ NiCl ₂ GaCl ₃ InCl ₃ FeCl ₃ WCl ₅ | 2,20 2,44 1,86 2,4 2,04 2,64 |

Учитывая все сказанное выше и используя уравнение (24), перейдем к оценке характеристик димеризации хлоридов элементов II и III групп Периодической системы.

Результаты такой оценки приведены в табл. 13, а также

на рис. 7.

Из приведенных злесь величин обращают на себя внимание значения ΔH_D хлоридов Са, Sr, Ba, Sc, V и La, неизвестные по результатам экспериментальных исследований (9-й столбец, табл. 13). Хотя они оказались очень большими, порядка нескольких десятков килокалорий, это не противоречит известным указаниям на их мономерность в парах. Как видно из последнего столбца табл. 13, ожидаемое процентное содержание димеров в области масс-спектрометрического интервала давлений ни-

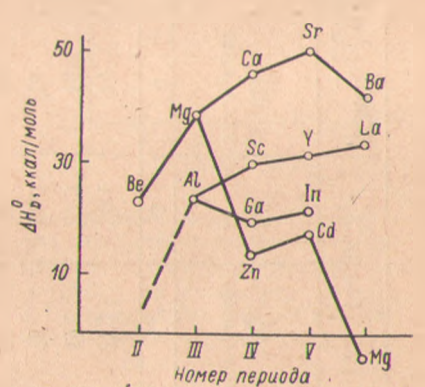
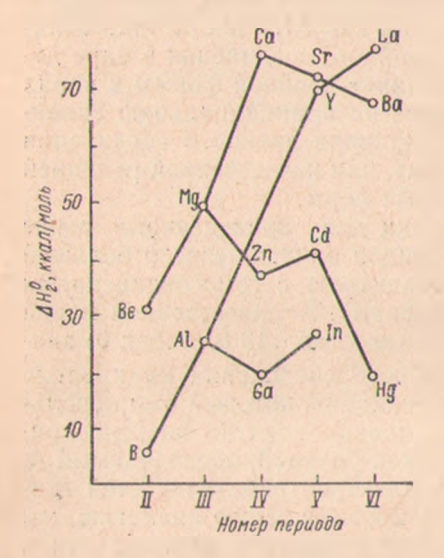


Рис. 7. Зависимость ΔH^0 процессов диссоциации димера $(M_2Cl_{2x}) = 2 (MCl_x)$ от положения металла в Периодической системе для элементов дополнительных подгрупп.

чтожно мало и вряд ли доступно прямому определению. Тенденция же молекул хлоридов к димеризации велика и в плане сопоставления прочности димерных и двойных хлоридов (гомо- и гетеросоединений) представляет существенный интерес. В этой связи было бы желательным сопоставить между собой характеристики трех процессов — сублимации, димеризации и комплексообразования, которые, как нам кажется, имеют много общего. Значения характеристик этих трех процессов при переходе от од-

Рассчитано из общего давления сублимации с учетом димеризации для GaCl.

них элементов к другим изменяются симбатно, что отчетливо видно из сравнения столбцов 2, 4 и 9 (табл. 13), а также рис. 7, 8, 9. На этих рисунках отчетливо виден качественно одинаковый характер зависимости, хотя количественное различие достаточно велико. Так, значения ΔH^0 сублимации хлоридов элементов 11 и III групп Периодической системы (рис. 8) занимает интервал от 6 до 76 ккал/моль, энергия диссоциации димеров (рис. 7) — от



TI III IV Y VI Homep nepuoda

Puc.~8. Зависимость ΔH^{α} процессов $[MCI_X] = (MCI_X)$ от положения металла в Периодической системе для элементов дополнительных подгрупп,

Рис. 9. Зависимость ΔH^0 процессов диссоциации комплексных соединений (KMCl $_{x+1}$) = (KCl) + + (MCl $_x$) от положения металла в Периодической системе для элементов дополнительных подгрупп.

—4 до 50 ккал/моль, энергия диссоциации двойных соединений (рис. 9) — от 42 до 67 ккал/моль, т. е. в указанной последовательности процессов наблюдается уменьшение энергетического интервала характеристик. Это и не удивительно, так как энергия сублимации является характеристикой гетерогенного процесса, связанного с резким изменением состояния и структуры при переходе в пар — с изменением координационного числа и разрывом межмолекулярных связей; энергия распада димеров связана с различием только внутримолекулярных характеристик, а молекулы двойных соединений содержат в качестве одинаковой для всех них составляющей молекулу хлорида щелочного металла, что дополнительно нивелирует свойства двойных соединений.

В целом, наиболее низкие значения ΔH^0 получаются для энергии димеризации, выше — для энергии сублимации и самые высокие — для энергии диссоциации двойных соединений.

Такая последовательность интересна и в другом отношении. Из соотношения

$$\Delta H_4^0 > \Delta H_1^0 + \Delta H_D^0$$

следует, что если

$$\Delta H_D^0 < \Delta H_T^0$$

и соединение MCl_x достаточно труднолетуче (см. например, данные для $KLaCl_4$ в табл. 13), то димеризация MCl_x экспериментально может быть неощутима, тогда как ΔH_4^2 достаточно велика и, следовательно, содержание двойного соединения в паре достаточно велико. В этом случае наличие двойной формы в парах следует рассматривать как указание на принципиальную склонность MCl_x к димеризации, т. е. наличие двойного соединения в паре можно считать «проявителем», или качественной реакцией

на склонность к димеризации простых форм.

В качестве основной предпосылки для приведенного выше расчета энергий димеризации хлоридов явился тезис о большей прочности гетеросоединения по сравнению с гомосоединениями (димерными молекулами простых форм). Количественной мерой этого упрочнения служат приведенные в табл. 13 (столбец 6) значения ΔH_{δ} реакций распада двойного соединения на простые димеры. Кстати, это тот самый тип реакции, который был использован Паулингом [66] для формулировки понятия электроотрицательности, а тепловой эффект таких реакций, обозначаемый Δ , был им положен в основу шкалы электроотрицательностей атомов различных элементов. Однако, проводя такую аналогию, мы далеки от мысли переносить выводы и понятия, относящиеся к элементам, на химические соединения.

До сих пор, когда шла речь о двойных парообразных соединениях, имелись в виду комбинации хлоридов щелочных металлов с хлоридами элементов других групп Системы, хотя известны и иные случаи образования двойных парообразных хлоридов. Так, известно [67-69], что в системе $BeCl_2-AlCl_3$ в пар переходит двойное соединение $BeAlCl_5$, а в системе $FeCl_3-AlCl_3-$ двойное соединение $FeAlCl_6$, в системах хлоридов одного и того же элемента, но разной валентности — такие соединения, как, например, In_2Cl_3 , и т. д.

Исходя из данной выше схемы, можно произвести ориентировочный расчет термодинамических характеристик двойных хлоридов элементов в двух- и трехвалентном состояниях. Поскольку различие в степени ионности молекул простых форм здесь значительно меньше, чем в том случае, если бы одним из нартнеров был хлорид щелочного металла, можно предположить, что тепловой эффект реакций распада двойных соединений на простые димеры будет мал и даже близок к нулю. Например:

(FeAlCl₆) =
$${}^{1}/{}_{2}$$
 (Fe₂Cl₆) + ${}^{1}/{}_{2}$ (Al₂Cl₆) $\Delta H^{0} \approx 0$ κκαλ/мολь, (BeAlCl₅) = ${}^{1}/{}_{2}$ (Be₂Cl₄) + ${}^{1}/{}_{2}$ (Al₂Cl₆) $\Delta H^{0} \approx 0$ κκαλ/мολь.

Если это так, тогда для расчета энтальпии образования нарообразной формы двойного хлорида должно быть справедливым соотношение

$$\Delta H_4^0 = \Delta H_{D_1}^0 + \Delta H_{D_2}^0$$

где D_1 и D_2 относятся к соединениям (M'Cl_x)₂ и (M"Cl_y)₂ соответственно.

Результаты произведенного оценочного расчета приведены в табл. 14.

Таблица 14

| | ΔH_2^0 , ккал $ $ моль | | 2ΔH _D , ккал/моль | | ΔΗ°, ккал моль | | |
|---|--|--|--|--|--|--|--|
| $M'M''Cl_{x+y}$. | WCI | M Cly | (M'CI _x) ₂ | (M"C y)2 | $(M'M''Cl_{x+y}) = = (M'Cl_x) + + (M''Cl_y)$ | $ M'Cl_x + + M''Cl_y = = (M'M''Cl_{x+y})$ | |
| FeAICI ₆ GaAICI ₆ BeAICI ₅ BeZnCI ₄ BeFeCI ₄ BeCaCI ₄ CaLaCI ₅ CaSrCI ₄ Fe ^(III) Fe ^(III) CI ₅ . | 32,3 19,5 31,3 31,3 31,3 76,0 76,0 32,3 | 25,5 25,5 25,5 37,1 44,0 76,0 77,0 72,0 44,0 | 31,6 21 23 23 23 23 46 46 31,6 | 28 28 28 14 32,0 46 33 50 32,0 | 30 25 26 19 28 35 40 48 32 | 28 20 31 49 47 72 113 100 34 | |

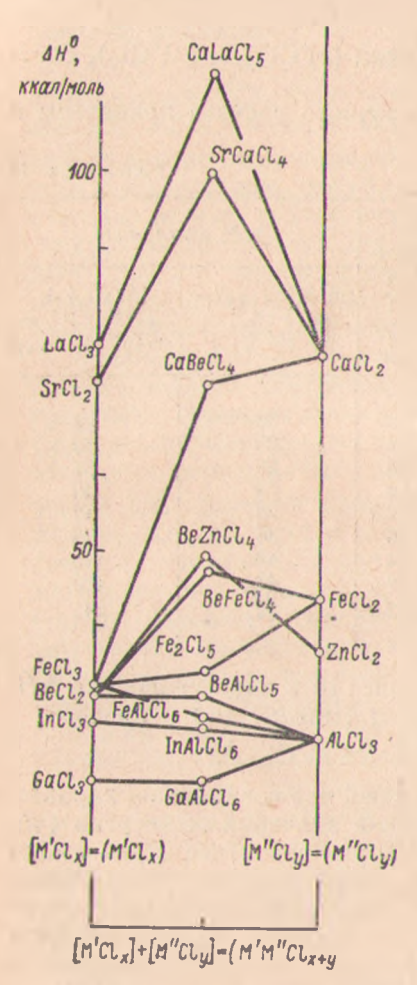
Те же данные приведены и на рис. 10 в виде сравнения ΔH^0 процессов сублимации простых форм (мономеров) и процесса

$$[M'Cl_x] + [M''Cl_y] = (M'M''Cl_{x+y}).$$

Из данных табл. 14 и рис. 10 видно, что соединения, характеризующиеся сравнимыми по величине значениями энергии сублимации и димеризации простых форм, вероятнее всего имеют в парах достаточно высокую концентрацию двойных соединений. Так, для $BeAlCl_5$ ΔH^0 перехода в пар двойного соединения не превышает значений ΔH^0 сублимации простых форм, а в случае $FeAlCl_6$ даже лежит ниже среднего значения их. Аналогичную картину можно наблюдать и для $InAlCl_6$ и особенно $GaAlCl_6$.

Интересным является случай возможного взаимодействия $FeCl_2$ и $FeCl_3$ в паровой фазе. Точка на рис. 10, отвечающая двойному парообразному соединению Fe_2Cl_5 , лежит ниже линии среднеарифметических значений ΔH^0 сублимации простых форм. Это означает, что давление пара этой формы будет выше, чем $FeCl_2$, приближаясь к давлению $FeCl_3$. В других комбинациях сравнительно легколетучих форм, таких, как $BeCl_2 + Tocl_2$, $BeCl_2 + FeCl_3$, образование заметных количеств парообразных двойных соединений $BeZnCl_4$ и $BeFeCl_4$ маловероятно,

показателем чего служит значительно большая величина ΔH^0 перехода в пар этих форм по сравнению с ΔH^0 сублимации простых форм. Причина этого заключается в том, что в слу-



 Puc_* 10. Значения ΔH^0 сублимации простых форм $M'Cl_x$ и $M'Cl_y$ и процесса $[M'Cl_x] + [M''Cl_y] = (M'M''Cl_{x+y}).$

чае FeCl₂ и особенно в случае ZnCl₂ энергия димеризации значительно меньше энергии суб-(для FeCl₂ $\Delta H_{\text{субл}} =$ $\kappa \kappa \alpha \Lambda / M O \Lambda b$, $\Delta H_{\text{дим}}^0 = 32$ $\kappa \kappa \alpha \Lambda / M O \Lambda b$; для $ZnCl_2 \Delta H_{cy6\Lambda}^0 =$ =37,1 ккал/моль, $\Delta H_{\text{пим}}^0 \approx 14$ ккал/моль). Остальные случаи, рассмотренные в табл. 14 и на рис. 10, представляют собой комбинацию либо легколетучего соединения с труднолетучим ($BeCl_2 + CaCl_2$), либо двух труднолетучих соедине- $(SrCl_2 + CaCl_2, LaCl_3 +$ + CaCl₂). Во всех этих случаях труднолетучие партнеры обладают хотя и большой энергией димеризации (например, для CaCl₂ $\Delta H_{\text{AHM}} = 46 \ \kappa \kappa \alpha \Lambda / MO \Lambda b$). но еще более превышающей ее по величине энергией сублимации (для CaCl₂ $\Delta H_{\text{субл}}^0 =$ = 76 ккал моль). В результате энтальпия процесса

$$[M'Cl_x] + [M''Cl_y] =$$

$$= (M'M''Cl_{x+y})$$

получается или близкой к $\Delta H_{\text{субл}}^{0}$ самого труднолетучего из компонентов (CaBeCl₄), или даже значительно превышает эту величину (CaLaCl₅,SrCaCl₄).

Следовательно, чем больше разница между энергией сублимации и димеризации, точнее, чем больше превышение энергии сублимации над энер-

гией димеризации, тем меньше удельный вес двойной формы в общем балансе паровой фазы. Этот вывод, справедливый в отношении устойчивости в парах любых двойных соединений, является очевидным, если исходить из следующей термохимической схемы:

$$[M'Cl_x] = (M'Cl_x) \qquad \Delta H_{S_1}^0$$

$$[M''Cl_y] = (M''Cl_y) \qquad \Delta H_{S_2}^0$$

$$(M'Cl_x)_2 = 2 (M'Cl_x) \qquad \Delta H_{D_1}^0$$

$$(M''Cl_y)_2 = 2 (M''Cl_y) \qquad \Delta H_{D_2}^0$$

$$(M'M''Cl_{x+y}) = (M'Cl_x) + (M''Cl_y) \qquad \Delta H_1^0$$

$$(M'M''Cl_{x+y}) = \frac{1}{2} (M'Cl_x) + \frac{1}{2} (M''Cl_y)_2 \qquad \Delta H_2^0 = \delta$$

$$[M'Cl_x] + [M''Cl_y] = (M'M''Cl_{x+y}) \qquad \Delta H_3^0$$

Уравнение теплового баланса для такой совокупности равновесий имеет вид

$$2\Delta H_{3}^{0} - (\Delta H_{S_{1}}^{0} + \Delta H_{S_{2}}^{0}) = (\Delta H_{S_{1}}^{0} + \Delta H_{S_{2}}^{0}) - (\Delta H_{D_{1}}^{0} + \Delta H_{D_{2}}^{0} + 2\delta).$$
 (25)

Левая часть этого уравнения представляет собой разницу между среднеарифметической величиной энтальпии сублимации простых форм и величиной ΔH_3^0 , т. е. является мерой участия двойного соединения в общем наборе форм паровой фазы. Большой доле участия соответствует условие

$$(\Delta H_{S_1}^0 + \Delta H_{S_2}^0) \geqslant 2\Delta H_3^0$$

и, следовательно, условие

$$(\Delta H_{D_1}^0 + \Delta H_{D_2}^0 + 2\delta) \geqslant (\Delta H_{S_1}^0 + \Delta H_{S_2}^0).$$
 (26)

В большинстве своем $\Delta H_D^0 > \Delta H_S^0$, а условие $\Delta H_D^0 \approx \Delta H_S^0$ имеет место лишь в случае AlCl₃, FeCl₃, GaCl₃, LaCl₃ и NaCl. В случае, когда $\delta \gg 0$, условие (26) выдерживается даже при $\Delta H_D^0 <$ $<\Delta H_S^0$, как это имеет место при образовании двойных соединений на основе хлоридов щелочных металлов. Именно поэтому такие двойные соединения содержатся в заметных количествах в паре даже в тех случаях, когда димер второго партнера (хлорида нещелочного металла) не обнаруживается существующими экспериментальными методами (т. е. при условии $\Delta H_D^0 \ll$ $\ll \Delta H_S^0$. Напротив, если $\delta \approx 0$, условие (26) выполняется только при $\Delta H_D^0 \approx \Delta H_S^0$. Мы предположили, что для комбинаций хлоридов элементов в двух- и более валентных состояниях величина в близка к нулю. В этом случае достаточно устойчивые двойные соединения в паре могут образовывать лишь такие хлориды, для которых $\Delta H_D^0 \approx \Delta H_S^0$, т. е. AICI₃ ($\Delta H_S^0 =$ =25,5 $\kappa \kappa a n / monb$, $\Delta H_D^0 = 28 \kappa \kappa a n / monb$, $FeCl_s (\Delta H_S^0 =$ = 32,5 $\kappa \kappa a n / Monb$, $\Delta H_D^0 = 31,6 \kappa \kappa a n / Monb$, $GaCl_8 (\Delta H_S^0 =$ =19.5 ккал/моль, $\Delta H_D^0 = 21$ ккал/моль) и, возможно, некоторых других, данные для которых пока отсутствуют.

К сожалению, данных, касающихся двойных соединений такого типа, в литературе пока очень мало, и для подтверждения сказанного выше мы имеем лишь факты существования парооб-

разных BeAlCl₅ и FeAlCl₆.

Что касается двойных соединений, образованных одним и тем же элементом, но в различных валентных состояниях, типа Fe₂Cl₅, то в этом случае интересным является вопрос о влиянии процессов образования парообразных двойных соединений на устойчивость последних в отношении диссоциации по ступеням окисления.

В конкретном случае Fe₂Cl₅ речь идет о конкуренции процессов [11, 10]:

В этом примере диссоциации простой и двойных форм оказываются энергетически неразличимыми, т. е. образование двойных соединений заметно не сказывается на энергетике отщепления хлора.

В общем виде вывод можно сделать, исходя из следующей

термохимической схемы:

$$C x e m a XIII$$

$$(MCl_{x}) = (MCl_{x-1}) + \frac{1}{2}(Cl_{2}) \qquad \Delta H_{1}^{0}, \quad \Delta S_{1}^{0}$$

$$(M_{2}Cl_{2x}) = 2 (MCl_{x}) \qquad \Delta H_{D_{x}}^{0}, \quad \Delta S_{D_{1}}^{0}$$

$$(M_{2}Cl_{2x-1}) = (MCl_{x}) + (MCl_{x-1}) \qquad \Delta H_{2}^{0}, \quad \Delta S_{2}^{0}$$

$$(M_{2}Cl_{2x-1}) = (M_{2}Cl_{2x-1}) + \frac{1}{2}(Cl_{2}) \qquad \Delta H_{3}^{0}, \quad \Delta S_{3}^{0}$$

$$(M_{2}Cl_{2(x-1)}) = 2 (MCl_{x-1}) \qquad \Delta H_{D_{x}}^{0}, \quad \Delta S_{D_{x}}^{0}$$

исходя из которой имеем соотношения

$$\Delta H_1^0 - \Delta H_1^0 = \Delta H_{D_1}^0 - \Delta H_2^0, \tag{27}$$

$$\Delta S_3^0 - \Delta S_1^0 = \Delta S_{D_1}^0 - \Delta S_2^0 \approx 0.$$
 (28)

Левая часть соотношений (27) и (28) и является количественной мерой конкуренции процессов диссоциации простых и двойных форм. Что касается соотношения (28), то в связи с одинаковостью пробега первой и четвертой реакций, можно принять $\Delta S_1^0 \approx \Delta S_3^0$ (так же как и $\Delta S_{D_1}^0 \approx \Delta S_2^0$). Из соотношения же (27) следует условие повышенной устойчивости двойного соединения по сравнению с простым в отношении отщепления хлора:

 $\Delta H_3^0 > \Delta H_1^0$

откуда

 $\Delta H_{D_1}^0 > \Delta H_2^0$

т. е. условие большей устойчивости димера по сравнению с двойным соединением в отношении распада на простые формы. Но поскольку величины ΔH_2^0 в конкретных случаях не определены, можно в качестве приближения принять указанное выше условие: $\delta \approx 0$. Тогда выражение (27) примет вид

$$\Delta H_3^0 - \Delta H_1^0 = \frac{1}{2} \left(\Delta H_{D_1}^0 - \Delta H_{D_2}^0 \right), \tag{29}$$

т. е. условием стабилизации в паре двойных соединений относительно простых будет соотношение

$$\Delta H_{D_1}^0 > \Delta H_{D_2}^0$$
.

Это означает, что двойное соединение будет труднее диссоциировать на хлор, чем простое, если энтальпия димеризации более высокой формы MCl_{x} окажется больше энтальпии диме-

ризации продукта распада $MC1_{x-1}$.

В приведенном выше примере с хлорным железом $\Delta H_{D_1}^0 = 31,6~\kappa\kappa\alpha n/moль$, а $\Delta H_{D_2}^0 = 32~\kappa\kappa\alpha n/moль$, т. е. практически имело место равенство $H_{D_1}^0 = H_{D_2}^0$, что и определило равную устойчивость к диссоциации FeCl₃ и Fe₂Cl₆. Однако такое совпадение является частным, а в общем случае можно ожидать заметного влияния процессов образования двойных соединений на термическую устойчивость последних в отношении диссоциации по ступеням окисления.

Заканчивая обсуждение рассмотренного выше вопроса о комплексообразовании в паре при высоких температурах на примерах двойных хлоридов щелочных металлов и элементов других групп Периодической системы, следует сказать следующее.

Последние годы, как известно ознаменовались установлением фактов существования многочисленных полимерных и комплексных парообразных соединений, например гидратов типа кислот и оснований, комплексных галогенидов, соединений типа оксигалогенидов и т. д. Термодинамический анализ литературных и наших экспериментальных данных показывает, что причина такого разнообразия парообразных форм и превращений в паре заключается в определенном упрочнении многих из этих соединений при переходе в пар, а также в том, что природа таких соединений несколько иная, чем у аналогичных форм в конденсированном состоянии.

Именно это и определило основные цели изложенной выше работы, которые были сформулированы следующим образом:

а) определение условий стабилизации или дестабилизации соединений при переходе в нарообразное состояние в отношении процессов диссоциации и диспропорционирования по ступеням окисления, замещения и координации;

б) корреляция между термической прочностью парообразных соединений и продуктов их распада, находящихся в димерном состоянии.

В результате проведенной работы и в соответствии с определением понятия стабилизации соединений при переходе в пар сделан вывод о том, что условие стабилизации однозначно определяется соотношением характеристик сублимации (испарения) всех участников реакции.

Показано, что существует закономерная связь между термодинамическими характеристиками сублимации, димеризации и

комплексообразования в паре.

Показано, что корреляция между термической прочностью комплексных соединений и димеризованных продуктов их распада в большей степени проявляется в том случае, если свойства димеров простых форм близки между собой. С увеличением же разницы в свойствах последних корреляция уменьшается.

ЛИТЕРАТУРА

- 1. В. И. Веденеев и др. Энергии разрыва химических связей. Потенциалы нонизации и сродство к электрону. Справочник. М., Изд. АН СССР, 1962.
- 2. П. И. Федоров, М. Н. Шахова. Изв. высш. уч. зав. Химия и химичгтехнол., 4, № 4, 550, 1961.

3. M. Farber, Y. Blauer. Trans. Farad. soc., 58, No 479, 2090, 1962.

4. O. Glemser. Angew. Chem., 73, Nr 24, 785, 1961.

5. O. Glemser, H. Wendlandt. Advances in inorg. chem., 5. Ed. H. Emelaus, A. Sharp, 1963.

6. Н. С. Афонский. ЖНХ, 7, № 11, 2640, 1962.

- 7. R. Lavilla, S. Bauer. J. Amer. chem. soc., 85, 22, 3597, 1963. 8. Г. И. Новиков, А. К. Баев. ЖИХ, 9, № 7, 1669, 1964. 9. Л. Н. Сидоров. Автореф. канд. диссерт. МГУ, 1963.
- 10. L. Wilson, N. Gregory. J. phys. chem., 62, 433, 1958. 11. R. Schoonmaker, R. Porter. J. chem. phys., 29, 116, 1958. 12. А. Н. Рябов. Автореф. канд. диссерт. ЛГУ, 1961.

- 13. Термические константы неорганических веществ. Сост. Э. В. Брицке и др. М.-Л., Изд. АН СССР, 1949.
- 14. O. Glemser, H. Ackermann. Zs. anorg. u. allg. Chem., 325, 281, 1963.
- 15. М. Инграм, Дж. Драуарт. Исследования при высоких температурах. Ред. В. А. Кириллин, А. Е. Шейндлин. М., ИЛ, 1962.
- 16. Н. А. Торопов, В. П. Барзаковский. Высокотемпературная химия силикатных и других окисных систем. Изд. АН СССР, 1963.

17. А. К. Баев. Автореф. канд. диссерт. ЛГУ, 1962.

18. Н. В. Андреева. Автореф. канд. диссерт. ЛГУ, 1959.

19. О. Г. Поляченок. Автореф. канд. диссерт. Изд. ЛГУ, 1963. 20. М. Х. Карапетьянц, М. Л. Карапетьянц. Таблицы некоторых термодинамических свойств различных веществ. Тр. Моск. хим. техи. ин-та, вып. 34. М., 1961. 21. G. Verhagen, F. Stafford, P. Goldinger, M. Ackermann. Trans. Farad. soc., 58, No 10, 1926, 1962. 22. Н. В. Галицкий. Автореф. канд. диссерт. Л., 1964.

23. А. В. Тарасов, А. Б. Поспелов, Г. И. Новиков. Вестник ЛГУ

№ 22, вып. 4, 101, 1965. 24. I. Drowart, G. De Maria, A. Boerboom, M. Inghram. J. chem. phys., 30, 308, 1959.

25. Л. Н. Сидоров, П. А. Акишии, В. И. Белоусов, В. Б. Шольц. ЖНХ, 38, № 1, 146, 1964.

26. K. Sense, R. Stone. J. phys. chem., 62, No 4, 453, 1958.

- 27. Г. И. Новиков. А. Л. Кузьменко. Вестник ЛГУ. № 16. вып. 3. 165.
- 28. R. Porter, E. Zeller. J. Chem. Phys., 33, No 3, 858, 1960.
- 29. K. Sense, R. Stone. J. Phys. Chem., 62, No 11, 1411, 1958. 30. K. Sense, C. Alexander, R. Bouman, R. Filbert. J. phys. chem.,
- 61, 337, 1957. 31, А. Л. Кузьменко, Г. И. Новиков. Вестник ЛГУ, № 22, вып. 4, 102, 1964.
- 32. S. Datz, W. Smith, E. Taylor. J. chem. phys., 34, No 2, 558, 1961.

33. E. Schries, H. Clark. J. phys. chem., **67**, 1259, 1963. 34. С. А. Фрид, О. Г. Поляченок, Г. И. Новиков. ЖНХ, **9**, № 4, 1017, 1964.

35. V. Rao, P. Kusch. J. chem. phys., 34, No 3, 838, 1961. 36. E. Dewing. J. Amer. chem. soc., 77, No 9, 269, 1955.

- 36. Е. Реwing, Б. Анег. Спепт. 50с., 77, 100 с., 205, 1505.
 37. Г. И. Новиков, В. Д. Толмачева. ЖНХ 10, № 12, 2712, 1965.
 38. Г. И. Новиков, Ф. Г. Гаврюченков. ЖНХ 10, № 12, 2706, 1965.
 39. Г. И. Новиков, А. К. Баев. ЖНХ, 9, № 7, 1672, 1964.
- 40. Г. И. Новиков, Ф. Г. Гаврюченков. ЖНХ, 10, № 8, 1668, 1965.

41. Су Мянь-цзен, Г. И. Повиков. ЖНХ 11, № 3, 498, 1966.

42. К. Б. Яцимирский. Термохимия комплексных соединений. М., Изд. AH CCCP, 1952.

43. Л. В. Гурвич и др. Термодинамические свойства индивидуальных ве-

ществ, т. II. М., Изд. АН СССР, 1962. 44. S. Flengas, M. Ingraham. J. chem., 38, No 6, 813, 1960.

45. B. Ehrlich, E. Framm. Zs. Naturforsch., 96, 326, 1954.
46. B. G. Korschunov, N. W. Gregory. Inorg. chem., 3, No 3, 451, 1964.
47. H. Smith, K. Lombard. J. Amer. chem. soc., 37, 38, 1915.
48. H. Smith, K. Lombard. J. Amer. chem. soc., 37, 2055, 1915. 49. Rodebush, Michalek. Proc. Natl. Acad. sci., 14, 131, 1928. 50. А. В. Суворов. Автореф. канд. диссерт. ЛГУ, 1961.

51. А. Р. Курбанов. Автореф. канд. диссерт. ЛГУ, 1962. 52. Б. Н. Шарупин. Автореф. канд. диссерт. ЛГУ, 1960. 53. Ан. Н. Несмеянов, Л. А. Сазонов. ЖНХ, 2, № 4, 1183, 1957. 54. І. Вегкоwitz. J. chem. phys., 37, No 8, 1953, 1962.

55. L. Brewer. Chem. rev., 61, No 4, 425, 1961.

56. Г. И. Новиков, О. Г. Поляченок. ЖНХ, 8, № 6, 1526, 1963.

57. L. Brewer, I. Kane. J. phys. chem., 59, No 2, 105, 1955.

58. Г. И. Новиков, А. Л. Кузьменко. Вестник ЛГУ, № 16, вып. 3, 143, 1964. 59. Л. Н. Рябчиков, Г. Ф. Тихинский. Физ. мет. и металловед., 10,

635, 1960.

60. F. Keneshea, D. Cubicciotti. J. chem. phys., 40, No 1, 191, 1964. 61. R. Schoonmaker, A. Friedman, R. Porter. J. chem. phys., 31,

1586, 1959. 62. A. Laubengauer, F. Schirmer. J. Amer. chem. soc., 62, No 6, 1578,

- 194k. 63. W. Fischer, O. Jübermann. Zs. anorg. u. allg. Chem., 227, No 3,
- 227, 1936. 64. К. Большаков, П. Федоров, М. Шахова. Научн. докл. высш.
- школы. Химия и химич. технол., № 3, 408, 1958.

65. D. Cubicciotti. J. phys. chem., 68, No 6, 1528, 1964.

- 66. Л. Паулинг. Природа химической связи, гл. П. М.—Л., Госхимиздат, 1947.
- 67. К. Н. Семененко, Т. Н. Наумова, Л. Н. Горохов, А. В. Новоселова. ДАН СССР, 154, № 3, 648, 1964.
- 68. В. Н. Фадеев, П. И. Федоров. ЖНХ, 8, № 8, 2007, 1963. 69. В. Н. Фадеев, П. И. Федоров. ЖНХ, 9, № 2, 381, 1964.